

## **САМОРОЗРЯД В ПОЗИТИВНИХ ЕЛЕКТРОДАХ ЛІТІЕВИХ ДЖЕРЕЛ СТРУМУ: АНАЛІТИЧНИЙ ОГЛЯД**

**ДВНЗ «Український державний хіміко-технологічний університет», м. Дніпропетровськ**

Зроблено огляд та аналіз літературних даних по вирішенню проблем саморозряду низки позитивних електродів в літієвих первинних джерелах струму та акумуляторах і літій-іонних батареях в умовах збереження, а також тривалого циклювання акумуляторів та літій-іонних батарей. Особлива увага відводиться збереженню зарядів літіевими джерелами струму при високій і низькій температурах в межах ( $-40\text{--}60^{\circ}\text{C}$ ). Наведено характеристики саморозряду та способи його подолання в літієвих джерелах струму на основі сірки,  $\text{FeS}_2$ , шпінелі  $\text{LiMn}_2\text{O}_4$ ,  $\text{LiCoO}_2$ ,  $\text{LiFePO}_4$ . Проблему саморозряду  $\text{S}_8$  вирішують шляхами: 1) використання нових електролітів з підвищеною концентрацією літієвої сілі ( $5\text{--}7$  моль $\cdot\text{L}^{-1}$ ) – супер-електролітів; 2) використання матриці з нанометровими порами для капсуляції сірки та літію. Розглядається можливий вагомий внесок супер-електролітів в технологію літієвих акумуляторів, особливо таких перспективних, як  $\text{Li}/\text{S}$  та  $\text{Li}/\text{O}_2$ . Ідея капсуляції поширюється на інші електродні матеріали. Зокрема, вона сприяє розробці акумулятора  $\text{FeS}_2/\text{Li}$  з рідинним електролітом, який працездатний при температурі довкілля. Ще одна стратегія підвищення ефективності електрохімічного перетворення  $\text{S}_8$ -електрода в літіевому акумуляторі – “ядро-оболонка” (core-shell) дає можливість отримати високу зворотну ємність після 100 циклів. Багаточисельні пропозиції щодо подолання саморозряду в літієвих джерелах струму в останній час стосуються використання ефективних нових літієвих солей, розчинників, нових електролітів і добавок в електроліти. Добавка не являється універсальним засобом проти саморозряду різних електродних матеріалів в різних електролітах, а частіше індивідуальна.

**Ключові слова:** саморозряд, літієві джерела струму, температура, позитивні електроди,  $\text{S}_8$ ,  $\text{FeS}_2$ , шпінель  $\text{LiMn}_2\text{O}_4$ ,  $\text{LiCoO}_2$ ,  $\text{LiFePO}_4$ .

### **Вступ**

Літій, завдяки низькому електрохімічному потенціалу та низькій щільноті, забезпечує найбільшу питому енергію в хімічному джерелі струму (ХДС) в порівнянні з питомою енергією, яку забезпечують інші метали. До переваг літієвих ХДС відносяться: висока питома енергія, висока напруга, стабільність розрядної напруги, висока екологічна безпека, широкий температурний працездатний інтервал, низький саморозряд, хімічна стійкість при тривалому часі збереження та ін.

В ході циклювання акумуляторів з металевим літієвим електродом на поверхні літію формуються дендрити, які при закороченні електродів стають причиною виходу ХДС із ладу з можливістю спалаху та вибуху. Для підвищення безпеки металевий літій заміщають в літій-іонних батареях на вуглецеві сполуки впровадженням літію та на оксиди перехідних металів. У 1991 р.

фірма Sony почала комерційне виробництво літій-іонних акумуляторів (ЛІА), і на даний час останні являються лідерами серед ХДС, які постачають енергію для портативних електронних пристрій.

Як позитивний електрод в первинних літієвих ХДС поряд з  $\text{MnO}_2$ ,  $\text{CF}_x$  і іншими електродними матеріалами широко використовується дісульфід  $\text{FeS}_2$ . Найбільш застосованими як активні матеріали в позитивних електродах комерційних ЛІА є оксиди  $\text{LiCoO}_2$ . Альтернативою високовартісному та екологічно небезпечному оксиду  $\text{LiCoO}_2$  являється низьковартісна літій-марганцева шпінель  $\text{LiMn}_2\text{O}_4$ , яку доведено до комерційного використання в ЛІА. Нарошується також виробництво ЛІА на основі каркасних сполук літію і перехідних металів з фосфат-, сульфат-, арсенат-поліаніонами. Із них найбільший інтерес становить літій-залізо-фосфат  $\text{LiFePO}_4$  зі структурою олівіну, з робочою напругою 3,5 В.

В останні роки з'явилася тенденція повернення до негативних електродів на основі металевого літію в ХДС. Професор Техаського університету Goodenough J.B., без якого важко уявити появу перших ЛІА на основі  $\text{LiCoO}_2$  та сучасний стан розвитку ЛІА на основі  $\text{LiFePO}_4$ , на даний час працює над створенням літієвої (натрієвої) супер-батареї. Вважається, що граничні енергетичні характеристики ЛІА вже досягнуто, тоді як потенційні можливості літієвого акумулятора ще далеко не вичерпано.

На даний час батареї  $\text{Li}/\text{S}$  та  $\text{Li}/\text{O}_2$  розглядаються як кандидати для наступної генерації високоенергоємних батарей [1–7].

Одним з напрямів інтенсивного розвитку літієвого акумулятора став літій-сірчаний акумулятор. Для широкого використання сірки в комерційних ЛІА необхідно вирішити проблеми, однією з яких є високий саморозряд.

Саморозряд в хімічних джерелах струму є взагалі постійною турботою дослідників та виробників ХДС, які спрямовують значні зусилля на його зниження. Саморозряду літієвих ХДС з позитивними електродами на основі  $\text{S}_8$ ,  $\text{FeS}_2$ ,  $\text{LiMn}_2\text{O}_4$ ,  $\text{LiCoO}_2$ ,  $\text{LiFePO}_4$ , а також існуючим способом його подолання присвячується даний огляд.

### Літій-сірчаний аккумулятор

Електрохімічна система літій–сірка має високі значення теоретичної питомої енергії ( $2600 \text{ Вт}\cdot\text{год}\cdot\text{кг}^{-1}$ ) і ємності ( $1675 \text{ А}\cdot\text{год}\cdot\text{кг}^{-1}$ ) і тому розглядається як одна з найбільш перспективних для створення акумуляторів з високою питомою енергією різного призначення. Її основні переваги – висока енергоємність, доступність електродних матеріалів, екологічна безпека й низька вартість. Саморозряд в джерелі струму  $\text{Li}/\text{S}$  пов’язано з утворенням полісульфідів в процесі розряду сірки  $\text{S}_8$  [8]. Полісульфіди розчинюються в електроліті і мігрирують до анода, де в реакції з літієм виникають полісульфіди більш низького порядку. Останні дифундують до катода, на якому регенеруються полісульфіди більш високого порядку (схема 1). Човниковий ефект, відомий з англо-мовної літератури як *shuttling*, знижує розрядну ємність та ефек-

тивність циклювання джерела струму  $\text{Li}/\text{S}$ .

Фактори, які впливають на збереження заряду батареї, – температура, природа електроліту, тривалість збереження, будова батареї, умови розряду та ін.

Над зниженням саморозряду літієвого джерела струму з електроактивним матеріалом, який містить сірку, працювали дослідники в галузі літієвих ХДС протягом багатьох років, і проблеми саморозряду вирішують і в даний час. Відстежується послідовне зростання успіхів. Саморозряд  $\text{Li}/\text{S}$  батареї на основі суміші тетрагідрофурану з толуолом при температурі  $60^\circ\text{C}$  розвивається зі швидкістю  $1,3\div5,0\%$  в місяць при дуже низькій розрядній густині струму. Дарма що вдавалося знизити саморозряд, але термін розряду джерела в 285 год непридатний для багатьох практичних користувачів.

При застосуванні домішки етиленсульфіту та інших органічних сульфідів як інгібіторів саморозряду в  $\text{Li}/\text{S}$ -ХДС з електролітом діоксолан, діоксиметан, літій-імід розрядна ємність досягла  $60\div70\%$  від початкової ємності при розряді  $C/10$ . Саморозряд  $\text{Li}/\text{S}$ -ХДС при збереженні становить менш як 1% за рік при кімнатній температурі. Проте інгібування органічними сульфідами може бути порушенено реакцією із полісульфідами, що утворюються при розряді джерела струму.

Проблему саморозряду в джерелі струму  $\text{Li}/\text{S}$  можна вирішувати шляхом покриття поверхні сульфідного електрода або сепаратору полімерним матеріалом-проводником іонів літію, що перешкоджує дифузії полісульфідів до катода, завадою якій стає плівка завтовшки від 1 нм до 1 мкм.

Саморозряд батареї  $\text{S}/\text{Li}$  з електролітом тетраетилен-діметил-гліколевий ефір залежить не тільки від терміну збереження, а також від природи струмового колектора [9]. Саморозряд 59% за місяць спостерігається в батареї із струмоколектором на основі нержавіючої сталі та 34% – в батареї з колектором із алюмінію в перші 80 діб. Середнє значення саморозряду в цьому випадку протягом року дорівнює 3% за місяць.

Для зниження саморозряду в джерелі стру-

Позитивний Розряд  
електрод: Заряд

$\text{S}_8 \text{ Li}_2\text{S}_8 \text{ Li}_2\text{S}_6 \text{ Li}_2\text{S}_4 \text{ Li}_2\text{S}_3 \text{ Li}_2\text{S}_2 \text{ Li}_2\text{S}$



Негативний  $\text{S}_8 \text{ Li}_2\text{S}_8 \text{ Li}_2\text{S}_6 \text{ Li}_2\text{S}_4 \text{ Li}_2\text{S}_3 \text{ Li}^+$   
електрод Відновлення полісульфідів  
 $\text{Li}^0$



Схема. Процеси хімічного перетворення в системі  $\text{Li}/\text{S}$  Позитивний Розряд

му Li/S пропонують в електроліт вводити додавку N–O-сполуки [10]. Добавкою може бути неорганічна сіль та органічна сполука. В числі неорганічних сполук – нітрати, нітрити. З низких нітратів найбільш позитивно впливає на зниження саморозряду нітрат літію. Показано ефект органічних сполук (гуанідин–нітрат, динітротолуол, нітрометан, нітропропан, етил-метил-імідазол-нітрат та ін.). Як розчинники в електроліті виступають діоксолан (ДОЛ) в суміші з диметоксистаном (ДМЕ) та діоксолан з тригліном (ТГМ). В електроліті 3,6 М LiNO<sub>3</sub>, ДОЛ 50%+ТГМ 50% на 5-му циклі використання сірки досягає 100%. Одержано високе використання сірки (60% на 47-у циклі) в літіевому акумуляторі з електролітом LiNO<sub>3</sub>, ДОЛ+ДМЕ. В електроліті ДОЛ+ДМЕ, імід літію з добавкою LiNO<sub>3</sub> (1,55 моль·л<sup>-1</sup>) використання сірки дорівнює 60% на 70-му циклі. Оптимальною концентрацією LiNO<sub>3</sub> вважають 0,40÷1,55 моль·л<sup>-1</sup>.

Застосування евтектичних сумішей сульфолану та сульфону в електроліті для батареї Li/S значно підвищує перетворення батареї при низьких температурах [11]. В електроліті LiClO<sub>4</sub> на основі сульфолану (СЛ) розрядна ємність літієвої батареї в залежності від температури значно менша, ніж в електроліті на основі евтектичної суміші (2 моль·л<sup>-1</sup>) сульфолану з етилбутилсульфоном (ЕБС) (таблиця).

**Підвищення розрядної ємності Li/S під впливом евтектичної суміші СЛ+ЕБС в залежності від температури**

Електроліт	Розрядна ємність, мА·год·см <sup>-2</sup> / використання сірки, %		
	25 <sup>0</sup> С	0 <sup>0</sup> С	-10 <sup>0</sup> С
СЛ	1,45/72,5	0,42/21,0	0,30/1,0
СЛ+ЕБС	1,53/76,5	–	1,01/50,5

Зниження енергетичних характеристик літій-іонних батарей при низьких температурах являє одну з причин, які перешкоджують широкому використанню батарей в багатьох практичних приладах. Особливо це стосується військових та аерокосмічних приладів з підвищеними температурними вимогами. Енергія та потужність літієвих батарей при температурі –40<sup>0</sup>С дорівнює в середньому 5,0 та 1,5% відповідно від їх значень при кімнатній температурі [12]. Їх зниження відбувається головним чином після досягнення температури – 20<sup>0</sup>С, коли отримують 80% ємності. Причинами втрати енергетичних характеристик літієвих ХДС при зниженні температури можуть бути: підвищення опору поверхневої плівки на активних електродних матеріалах; затримання іонного транспорту в електроліті; підвищення опору перенесення за-

рядів через поверхню електрод/електроліт; затримання дифузії іонів літію в об'ємі електродного матеріалу; підвищення контактного опору між частинками активного матеріалу; підвищення контактного опору між частинками активного матеріалу та струмовим колектором; зниження електропровідності активного матеріалу, побічні реакції корозії анода та відновлення катода електролітом та ін.

Прогрес в розробціnanoструктурзованих матеріалів, нанокомпозитів та іонних рідинних електролітів сприяв ефективному покращенню енергетичних характеристик батарей Li/S [13–19].

Лідери-виробники батареї Li/S кампанії “Sion Power Co” та “Polyplus Fuels Co” пропонують батареї з максимальною енергією 400 Вт·год·кг<sup>-1</sup>. Кампанія “Sion Power Co” демонструє здатність перезаряджуваної системи S/Li працювати при швидкості розряду 3С в температурному ряду –60÷60<sup>0</sup>С з забезпеченням енергії 250÷300 Вт·год·кг<sup>-1</sup>. Саморозряд системи становить 15% в місяць, використання сірки підвищено до 90%.

Метою розробки [20] стало перевищення досягнутого значення питомої енергії (400 Вт·год·кг<sup>-1</sup> сірки) в літіевому та літій-іонному сірчаному акумуляторах. Запропоновано акумуляторні системи з застосуванням електропровідних поруватих матриць в літіевому та сірчаному електродах, які одночасно є струмопровідниками. Як матриці використовують нанометрові вуглецеві та інші провідні матеріали. Матриці являють собою сітчату систему з наявністю взаємопов’язаних пор з діаметром менш як 100–5 нм. Матриця негативного електрода слугує резервуаром для літію і розрахована на подолання дендритоутворення на літії. В позитивному електроді використовують матрицю з такими наповнювачами як сірка та сірчана сполука (літієвий суль-фід). Активний матеріал у вигляді суспензії в електроліті або сухого порошку заповнює поруватий простір матриці або наноситься на її поверхню. Матриця дозволяє тільки іонам літію дифундувати між позитивним та негативним електродами. Рідинні, полімерні, композитні та тверді електроліти рекомендовано для використання в батареях. У складі рідинних електролітів як розчинники можуть бути етиленкарбонат (ЕК), диметилкарбонат (ДМК), диметоксистан (ДМЕ), діетилкарбонат (ДЕК), ацетонітрил, толуол, етилацетат, ксилен, та інші традиційні розчинники в електролітах літієвих ХДС. Із літієвих солей перевагу віддають LiPF<sub>6</sub> та LiBF<sub>4</sub>. Для матриці рекомендовано низку сполук, в числі яких поліанілін у суміші з поліетиленоксидом, що не потребує електропровідної добавки. Досягнута зворотна ємність 400÷

$\div 600 \text{ мА}\cdot\text{год}\cdot\text{г}^{-1}$  загальної ваги батареї. В батареї з твердим електролітом, який оснований на  $\text{Li}_{1+x}\text{Al}_x\text{Ge}_{2-x}(\text{PO}_4)_3$ , де  $x=0,1\div0,9$ , питома енергія досягає  $800\div1000 \text{ Вт}\cdot\text{год}\cdot\text{г}^{-1}$  загальної ваги батареї. Зворотна ємність літій-іонної батареї з позитивним електродом із середнім розміром пор  $8,5 \text{ нм}$  дорівнює  $945 \text{ мА}\cdot\text{год}\cdot\text{г}^{-1}$  протягом 200 циклів, тоді як в комерційних сірчаних батареях вона не перевищує  $150 \text{ мА}\cdot\text{год}\cdot\text{г}^{-1}$ .

Нешодавно для подолання дендритоутворення на літію зроблено успіхи в неорганічних електролітах з провідністю  $10^{-2} \text{ См}\cdot\text{см}^{-1}$  [21] та в керамічних електролітах  $\text{Li}_2\text{S}-\text{P}_2\text{O}_5$  [22]. Проте контактний опір між активним матеріалом та твердим електролітом зменшує енергетичну ємність батареї. Кращі поверхневі контакти досягаються в електролітах нового класу. В новому класі електролітів досягнуто інгібування розчинності полісульфідів, що розв'язує проблему подолання shouttling в акумуляторі  $\text{Li}/\text{S}$  [23]. Новий клас електролітів показано з ультрависокою концентрацією солі з числом перенесення  $\text{Li}^+$  (0,73), в якому сіль має домінантне значення в літій-іонній транспортній системі. Це підвищує циклованість та безпеку високоенергоємної перезаряджуваної батареї через приглушення зростання дендритів літію. Кулонівська ефективність досягає 100% при стабільному тривалому циклюванні. Найбільш привабливим вважається електроліт ДОЛ, ДМЕ, 5 моль $\cdot\text{l}^{-1}$   $\text{Li}(\text{CF}_3\text{SO}_2)_2\text{N}$ . Його провідність при кімнатній температурі дорівнює  $0,814 \text{ мСм}\cdot\text{с}^{-1}$ . Новий клас електролітів працездатний при  $-20^\circ\text{C}$ . Розрядна ємність батареї  $\text{Li}/\text{S}$  в першому циклі дорівнює  $1041 \text{ мА}\cdot\text{год}\cdot\text{г}^{-1}$  при розрядному струмі  $0,2 \text{ C}$  ( $353 \text{ мА}\cdot\text{г}^{-1}$ ), зворотна —  $770 \text{ мА}\cdot\text{год}\cdot\text{г}^{-1}$  (74% на 100-му циклі) та  $551 \text{ мА}\cdot\text{год}\cdot\text{г}^{-1}$  — при  $3 \text{ C}$ .

### Первинні джерела струму $\text{FeS}_2/\text{Li}$

Найменшим саморозрядом серед хімічних джерел струму характеризуються первинні літієви ХДС, а також лужні джерела струму.

Висока теоретична питома ємність  $\text{FeS}_2$  в редокс-реакції з літієм (1) дорівнює  $894 \text{ мА}\cdot\text{год}\cdot\text{г}^{-1}$ , більш ніж лужних джерел струму:



Середня розрядна напруга джерела  $\text{FeS}_2/\text{Li}$  ( $1,6\div1,4 \text{ В}$ ) перевищує таку лужних джерел струму. Температурні показники ємності  $\text{FeS}_2/\text{Li}$  також кращі ніж температурні показники ємності лужніх джерел струму. Проблеми саморозряду ХДС  $\text{FeS}_2/\text{Li}$  пов'язані головним чином з побічними процесами розкладання апротонного електроліту за участю активного реагенту ( $\text{FeS}_2$ ) з утворенням поверхневої твердоелектролітної плівки (SEI).

Для збереження ємності сульфідів пере-

хідних металів, одержаних електролітично, в літієвому акумуляторі більш придатним є електроліт на основі біс-оксалатоборату літію ( $\text{LiBOB}$ ), ніж на основі перхлорату літію ( $\text{LiClO}_4$ ) [24].

Кампанії-виробники літієвих хімічних джерел струму гарантують різні строки збереження ємності своєї продукції та різні значення працездатної температури. За даними матеріалів сайтів кампаній більшість з них гарантує збереження ємності для первинних джерел  $\text{FeS}_2/\text{Li}$  протягом 10 років. Так, “Kingwell Energy Co” гарантує працездатність первинних джерел  $\text{FeS}_2/\text{Li}$  (типорозмір АА, ємність  $2900 \text{ мА}\cdot\text{год}$ ) при температурах від  $-20$  до  $+60^\circ\text{C}$  після 10 років збереження так само, як “Exocell” для типорозміру AAA ємністю  $1100 \text{ мА}\cdot\text{год}$ . Кампанія “Minamoto” також гарантує такі самі параметри для батареї типорозміру AAA ємністю  $1100 \text{ мА год}$ . На відміну від них, “Tadiran” гарантує збереження батарей  $\text{FeS}_2/\text{Li}$  протягом більш, як 15 років при більш розширеному температурному інтервалі  $-40\div60^\circ\text{C}$ . Кампанія “Energizer” виготовляє ХДС  $\text{Li}/\text{FeS}_2$  (AA) ємністю  $3000 \text{ мА}\cdot\text{год}$  для радіо, аудіо, цифрових камер, фотоспалаху, які працездатні при температурах від  $-40^\circ\text{C}$  до  $60^\circ\text{C}$  в залежності від розрядного струму. Гарантоване збереження циліндричного ХДС  $\text{FeS}_2/\text{Li}$  з електролітом на основі розчинників ПК, ДМЕ, діоксолану (ДОЛ) при температурі  $23^\circ\text{C}$  дорівнює 20 років.

Фірма “Power Stream” гарантує такі температурні межі для збереження ємності своєї продукції (первинних ХДС):  $\text{CF}_3\text{Li}$  ( $-40\div125^\circ\text{C}$  протягом 5 років),  $\text{SOCl}_2/\text{Li}$  ( $-55\div70^\circ\text{C}$ ).

Гарантовані параметри залежать від конструкції батарей. Так, фірма “Evebattery” гарантує ефективне перетворення  $\text{MnO}_2/\text{Li}$ -ХДС: циліндричних — при  $(-40\div85^\circ\text{C})$ , гудзикових — при  $(-30\div70^\circ\text{C})$ . Для зниження саморозряду в джерелі струму на основі діоксиду марганцю пропонують додавати в електроліт діоксолан в кількості 10% та стабілізуючі добавки в кількості  $0,1\div20,0\%$  такі, як оксазол та 2-метил-2-окса-золін або їх суміші.

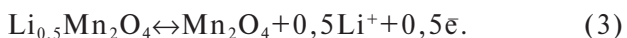
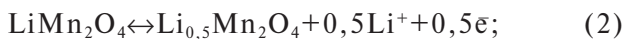
### Літій-іонні батареї

Літій-іонні джерела енергії повинні зберігатися в зарядженному стані не менш як на 40%. З підвищеннем температури збереження ємність знижується. Значення ємності літій-іонних батарей, заряджених на 40%, після 1 року збереження при температурах  $0\div25^\circ\text{C}$  дорівнюють в середньому 98; 96%, при температурах  $40\div60^\circ\text{C}$  знижаються до 85; 75% відповідно.

*Літій-іонна система на основі шпінелі  $\text{LiMn}_2\text{O}_4$*

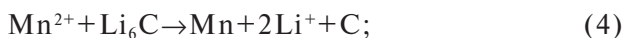
В комерційних літій-іонних батареях шпінель  $\text{LiMn}_2\text{O}_4$  використовується в позитив-

них електродах. На розрядно-зарядних кривих в області 4 В спостерігаються дві горизонтальні площини напруги, які поділені через 150 мВ. Вони відповідають реакціям (2), (3), що описують двостадійні процеси деінтеркаляції/інтеркаляції іонів літію із/в шпінельної/у структури/у з забезпеченням теоретичної ємності 148 мА·год·г<sup>-1</sup> [25]:



До деградаційних процесів в шпінелі, які пов'язані зі втратою розрядної ємності, відноситься:

1. Повільне розчинення LiMn<sub>2</sub>O<sub>4</sub> в електроліті, особливо при підвищенні температури. Розчинення знижує кількість активного електродного матеріалу, а також негативно впливає на процеси в протилежному Li<sub>6</sub>C-електроді. Літій витрачається за рахунок реакції (4):



2. Загачення поверхневих шарів шпінелі LiMn<sub>2</sub>O<sub>4</sub> літієм призводить до розвитку ефекта Яна-Теллера з утворенням тетрагональної фази Li<sub>2</sub>Mn<sub>2</sub>O<sub>4</sub>, в результаті трансформації якої за реакцією (5) відбувається втрата активного матеріалу:



3. Структурна деградація шпінелі в двофазній області за реакцією (6), нестійкість делітованої фази л-MnO<sub>2</sub>:



4. Формування поверхневих плівок на електродах;

5. Оксиснення електроліту;

6. Та інші.

Рішення проблеми падіння ємності шпінелі LiMn<sub>2</sub>O<sub>4</sub> при кімнатній температурі знайдене в заміщенні частки марганцю такими іонами, що стабілізують структуру шпінелі з підвищенням середнього оксидаційного стану марганцю. Зниження концентрації Mn<sup>3+</sup> в структурі шпінелі призводить до зменшення тетрагонального співвідношення і, як наслідок, до підвищення стабільності структури. Введення в структуру шпінелі LiMn<sub>2</sub>O<sub>4</sub> металів-допантів, які зменшують при літіюванні відносну зміну кристалографічних параметрів в елементарному осередку LiMn<sub>2</sub>O<sub>4</sub>, дозволяє суттєво знизити швидкість втрати ємності електрода при тривалому циклюванні.

Для інгібування процесів, які знижують розрядну ємність, багато уваги приділяється допінюванню шпінелі LiMn<sub>2</sub>O<sub>4</sub> різними хімічними елементами [26]. Алюміній як допант сприяє зміцненню зв'язку Mn—O, стабілізації розрядної ємності протягом тривалого циклювання [27].

Поверхнева модифікація шпінелі LiMn<sub>2</sub>O<sub>4</sub> оксидом кобальту підвищує ефективність циклювання тонкошарових композицій LiMn<sub>2</sub>O<sub>4</sub> з вуглецевими нанотрубками при високій швидкості розряду (40°C) [28].

Поверхневе допінювання знижує розчинність марганцю за рахунок зниження контактної площини з електролітом. Нанометровий оксид алюмінію Al<sub>2</sub>O<sub>3</sub> інгібує ефект Яна-Теллера та забезпечує задовільний контакт між частинками LiMn<sub>2</sub>O<sub>4</sub> [29]. Нанопокриття із суміші оксиду Al<sub>2</sub>O<sub>3</sub> з бермітом AlO(OH) підвищує суттєво циклуємість композиту LiCoO<sub>2</sub>—LiMn<sub>2</sub>O<sub>4</sub> [30].

До нездовільного ектохімічного перетворення літій-іонної системи в електроліті ЕК, ДЕК, LiPF<sub>6</sub> в температурному ряду 10, 25, 40°C призводить кристалізація розчинника, яка починається вже при 10°C [31].

Покращення питомих розрядних характеристик та циклованості досягнуто при поверхневому допінюванні шпінелі сумішшю CuO, Co (2 мол.%) [32]. Розрядна ємність допованої шпінелі в такому разі дорівнює 118,1 мА·год·г<sup>-1</sup> навіть при 55°C.

Вибір допантів для легування шпінелі LiMn<sub>2</sub>O<sub>4</sub> оснований на аналізі таких параметрів: стабільність катіонів, які впроваджуються, стабільність оксидів, енергія зв'язку Me—O, радіус іонів [33].

Здійснене в роботі [34] сумісне електролітичне осадження оксидів марганцю та кобальту в заданій стехіометрії дає можливість для подальшого одержання на їх основі за методом термічного літіювання гомогенної Со-допованої шпінелі LiMn<sub>2-x</sub>Co<sub>x</sub>O<sub>4</sub> із середнім розміром частинок 1 мкм. ІЧ-спектри поглинання синтезованої шпінелі свідчать про посилення зв'язків в структурі шпінелі під впливом сильнішого зв'язку Со—O в порівнянні зі зв'язком Mn—O, що сприяє стабілізації розрядної ємності при циклюванні.

Визначено, що в процесах циклювання шпінелі “розшатування” її структури підсилюється негомогенністю локальної структури. Наявність більш як 50% Ян-Теллерівських іонів Mn<sup>3+</sup> в кристалічній структурі викликає зменшення структурної симетрії октаедра MnO<sub>6</sub>. Переход від кубічної симетрії до тетрагональної супроводжується зміною об'єму елементарного осередку (6,5%). Спотворення, яке виникає в структурі на поверхні шпінелі, поширяється на весь матеріал. Це призводить до втрати контактів

між частинками шпінелі  $\text{LiMn}_2\text{O}_4$  і втрати ємності акумулятора.

Покриття поверхні шпінелі шаром  $\text{AlF}_3$ , хімічним способом покращує електрохімічну поведінку  $\text{LiMn}_2\text{O}_4$ , знижуючи втрату ємності на 50-му циклі при  $55^\circ\text{C}$  до 3,4%, в той час як втрача ємності недоповоюної шпінелі в аналогічних умовах дорівнює 17,8% [35].

Ефект перетворення шпінелі  $\text{LiMn}_2\text{O}_4$  в літій-іонній батареї залежить від товщини плівки SEI, яка утворюється під час циклювання. Стабілізація плівки відбувається протягом 20 циклів [36]. Зниження товщини плівки призводить до недостатнього захисту проти можливих побічних реакцій.

Комбіноване допіювання є ефективним шляхом отримання кращих кінцевих результатів. Розчинність шпінелі  $\text{LiMn}_2\text{O}_4$  ефективно інгібуються поверхневим покриттям кобальтом (0,5%) з ітрієм (0,5%) [37].

В останні роки почалося дослідження композитних матеріалів на основі двох електрохімічно активних складових з метою покращення характеристик та зменшення вартості. Показано, що в суміші шпінелі  $\text{LiMn}_2\text{O}_4$  з кобальтом літію  $\text{LiCoO}_2$  можна отримати високі розрядні характеристики [38].

Проблему зниження саморозряду шпінелі  $\text{LiMn}_2\text{O}_4$  в літій-іонній системі при температурі  $55^\circ\text{C}$  запропоновано вирішувати за допомогою хелатуючого агенту такого, як ацетилацетон. Вважають, що іони  $\text{Mn}^{2+}$ , які утворюються внаслідок розчинення шпінелі  $\text{LiMn}_2\text{O}_4$  в електроліті, є активними каталізаторами розкладення електроліту, яке зростає при підвищенні температури. Для зниження каталітичної активності іони марганцю пов'язують в метало-комpleкси. Для цього порошок шпінелі витримують в контакті з ацетилацетоном протягом 2–8 год для формування метало-комpleкса. Потім виконують термічне оброблення при  $400$ – $800^\circ\text{C}$  з утворенням на частинках шпінелі захисного шару вуглецевих продуктів розпаду хелатуючого агенту. При цьому після термооброблення площа поверхні частинок шпінелі знижується від 0,8 до 0,3  $\text{m}^2 \cdot \text{g}^{-1}$ , що сприяє зниженню контакту її з електролітом, і як результат – зниження саморозряду. Як хелатуючі агенти пропонують дитіокарбамат, карбоксилати, трополонати, етилендіамін, 2,1<sup>1</sup>-біпіридін, фенантролін, дикетонати, тетіридин, діетилентриамін, макроциклічні сполуки, порфиріни, фталоціанини та ін. Саморозряд визначали після збереження батареї на основі шпінелі протягом тижня при  $55^\circ\text{C}$ . Саморозряд знижується під впливом ацетилацетону приблизно до 10%.

Метиленметандісульфонат (ММДС) як додавка в діетилкарбонатний електроліт приглу-

шує  $\text{Mn}^{3+}$ -розчинність із шпінелі при підвищенні температурі [39]. Лінійна вольтамперометрія показує початок окиснення діетилкарбонатного електроліту з добавкою ММДС (0,5 об.%) біля 3,83 В (відносно  $\text{Li}/\text{Li}^+$ ), що нижче (4,12 В) без добавки. В дослідженні демонструють формування стабільної поверхневої плівки, яка ефективно приглушує окиснення розчинників контролюного електроліту та генерацію HF в електроліті  $\text{LiPF}_6$ , і як результат, зменшення розчинності  $\text{Mn}^{3+}$  із шпінелі.

Аніонне заміщення у структурі шпінелі також, як катіонне заміщення, спричиняє позитивний ефект [40,41]. Заміщення O на F підвищує циклічність процесу інтеркаляція/деінтеркаляція, що пов'язано з вищою високою електронегативністю F в порівнянні з O. Це підвищує валентність Mn, допомагає уникнути ефекту Яна-Теллера, стабілізує таким чином структуру шпінелі.

Стійкість в довгостроковому високотемпературному збереженні шпінелі  $\text{LiMn}_2\text{O}_4$  визначена в біс-оксалатоборатному електроліті (LiBOB) [42].

Саморозряд шпінелі  $\text{LiMn}_2\text{O}_4$  може бути внаслідок окиснення розчинника електроліту на частинках домішки вуглецевого матеріалу [43].

Заміщення 1/4 Mn на Ni в шпінелі  $\text{LiMn}_2\text{O}_4$  стабілізує структуру шпінелі і покращує збереження ємності при високих температурах [44].

Розчинність шпінелі в електроліті можна зменшити додаванням модифікуючої домішки такої, як пентафтторфенілбороксалат (ПФФБО) [45]. ПФФБО синтезовано як біфункційну добавку – аніонний рецептор і стабілізатор формування плівки (SEI) в ПК-електроліті. Він має структуру з електронодефіцитом центрального атому бора та з оксалат-групою. Розчинність ( $\text{LiF}$ ) або ( $\text{Li}_2\text{O}$ ,  $\text{Li}_3\text{O}_2$ ) в ПК та ДМК зростає в присутності ПФФБО. Нові електроліти показують високу іонну провідність та числа перенесення іонів літію, а також добру сумісність з  $\text{LiMn}_2\text{O}_4$  та вуглецевим матеріалом МСМВ.

Переходу марганцю в розчин перешкоджає оксалат-діфтотороборат літію ( $\text{LiODFB}$ ) [46], який може бути альтернативою солі  $\text{LiPF}_6$ . Аніон цієї солі утворює з  $\text{Mn}^{2+}$  комплекс, який вкриває поверхню шпінелі, особливо ефективний при підвищенні температурі.

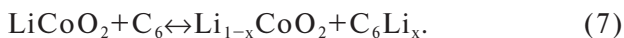
Додаток гексаметилдисилозану або гептилметилдисилозану як вологоглицинача в електроліт із сіллю  $\text{LiPF}_6$  перешкоджає утворенню кислих домішок, що обумовлено з'єднанням означених сполук з домішками  $\text{H}_2\text{O}$  та нейтралізацією HF [47].

#### *Літій-іонні системи на основі $\text{LiCoO}_2$*

Оксид  $\text{LiCoO}_2$  являється самим поширенім електродним матеріалом в позитивних електро-

дах комерційних літій-іонних батарей.

Реакція екстракції іонів літію з оксиду  $\text{LiCoO}_2$  вперше була запропонована для літієвого ХДС групою J.B. Goodenough [48] (7):



Оксид  $\text{LiCoO}_2$  характеризується придатною ємністю, високою напругою, низьким саморозрядом, високою ефективністю циклування в літіевому акумуляторі та простотою виготовлення. До недоліків літіюваних оксидів кобальту як "чистих", так і модифікованих, відносяться в числі інших розкладання електроліту при високих робочих потенціалах, зниження ємності при високих температурах.

Домішка води, контакт з полівініліденфторидним сполучним та алюмінієвим струмопровідником, підвищення температури призводять до деградації поверхні активного матеріалу з утворенням в електроліті іонів кобальту. Розчинений кобальт осаджується на негативному електроді. В поверхневій плівці на  $\text{LiCoO}_2$  можуть протікати вторинні реакції під час збереження. Добавка вініленкарбонату (VC) в електроліт літій-іонної системи  $\text{Li}_x\text{CoO}_2$  / графіт знижує втрату ємності під час збереження при  $60^\circ\text{C}$  до 3%, тоді як без добавки втрата досягає 15%. Структура графіту при цьому не змінюється, відбувається переформування поверхневої плівки з температурою. Добавка перешкоджує осадженню Co на негативному електроді.

Поверхнева плівка оксиду  $\text{ZrO}_2$  на  $\text{Li}_x\text{CoO}_2$  сприяє збереженню зарядів [49] так само, як плівки оксидів  $\text{TiO}_2$ ,  $\text{Al}_2\text{O}_3$  [50].

Температурні ефекти старіння комерційної літій-іонної батареї 18650 досліджено електрохімічними методами та Post-Mortem-аналізом в ряду  $-20\text{--}70^\circ\text{C}$  [51]. Комерційне джерело струму системи з сумішшю  $\text{Li}_x\text{Ni}_{1/3}\text{Mn}_{1/3}\text{Co}_{1/3}\text{O}_2/\text{Li}_y\text{Mn}_2\text{O}_4$  в позитивному електроді та сумішшю графіт/вуглець в негативному електроді використано в дослідженні. Циклування джерела виконували при швидкості 1 С до падіння 80% початкової ємності. В Аренісовському нахилі виявлено два різних механізми старіння: від ( $-20^\circ\text{C}$  до  $25^\circ\text{C}$ ) та від ( $25^\circ\text{C}$  до  $70^\circ\text{C}$ ). Нижче  $25^\circ\text{C}$  швидкість старіння зростає зі зниженням температури, вище  $25^\circ\text{C}$  старіння підсилюється з підвищеннем температури. Визначено, що механізм старіння при температурі  $<25^\circ\text{C}$  пов'язаний із процесом гальванічного осадження літію, тоді як при температурі  $>25^\circ\text{C}$  відбувається дегенерація позитивного електрода, а літій вкривається SEI-плівкою.

Електроліт з концентрацією 1 моль $\cdot$ л $^{-1}$  дифтор-оксалатоборату літію (ЛіДФОБ) в розчині  $\gamma$ -бутиролактон-метилбутирату ( $\gamma$ -БЛ/МБ) порівнювали зі стандартним електролітом ЕК,

ДМК, ДЕК, 1М  $\text{LiPF}_6$  та електролітом 1 моль $\cdot$ л $^{-1}$  Li-ДФОБ в ЕК, ДМК, ДЕК (1:1:1) в джерелі струму 2032 з позитивним електродом ( $\text{LiNi}_{0.8}\text{Co}_{0.15}\text{Al}_{0.05}\text{O}_2$  – 85%, графітом KS 15 – 2%, SAB – 2%, Super P вуглецем – 2%, PVdF – 5%) та негативним графітовим електродом (Gr5 – 89%, Super P вуглецем – 2%, PVdF – 8,9%, посилювачем адгезії – 0,2%) [52]. Провідність Li-ДФОБ в  $\gamma$ -БЛ/МБ вища при температурі  $-10^\circ\text{C}$  та трохи нижча при підвищенні температурі відносно провідності стандартного електроліту.

Високі розрядні показники досягнуто в низці температур ( $-40\text{--}60^\circ\text{C}$  в прототипі ХДС з електродними матеріалами мезофазний вуглець МСМВ,  $\text{LiNiCoAlO}_2$  та електролітами  $\text{LiPF}_6$ , ЕК, ДМК, х, де x=метилпропанат (МП) або етилбутират (ЕБ) [53]. Показана можливість 5-кратного підвищенні розрядної ємності при швидкості розряду 5С при температурі  $-40^\circ\text{C}$ . Для покращення розрядних характеристик при підвищенні температурі в електроліт додають добавки, які утворюють поверхневі шари на електродах: моно-фторетиленкарбонат (МФЕК), оксалат літію (ОЛ), вініленкарбонат (ВК), Li-біс-оксалатоборат (LiBOB). В електроліті (1,2 моль $\cdot$ л $^{-1}$   $\text{LiPF}_6 + 0,1$  моль $\cdot$ л $^{-1}$  LiBOB), ЕК, ЕМК, МП (20:20:60%) при температурі  $-20^\circ\text{C}$  при швидкості розряду 20 С вдається досягнути 11-кратного підвищенні енергії в порівнянні з характеристиками в контрольному електроліті. МФЕК покращує кінетику негативного електрода, ВК та LiBOB – позитивного. Здійснено випробування прототипу ХДС ємністю 0,25 А год в низці низьких температур (до  $-60^\circ\text{C}$ ) з підвищеннем швидкості розряду до 20 С.

При висових швидкостях розряду традиційні електроліти для літій-іонних батарей на основі ЕК, ДМК (50:50) 1 М  $\text{LiPF}_6$ , зокрема, в системі ( $\text{Li}, \text{Ni}, \text{Co}, \text{Al}$ -оксид/синтетичний графіт), неспроможні забезпечувати задовільну ємність при  $-20^\circ\text{C}$  [54]. Провідність електроліту, яка дорівнює при  $25^\circ\text{C}$  (10 мСм $\square\text{cm}^{-1}$ ), знижується до 1 мСм $\square\text{cm}^{-1}$  при  $-20^\circ\text{C}$ . Додавання ацетонітрилу (АН), пропіонітрилу (ПН) або бутиронітрилу (БН) в електроліт (наприклад, ЕК/ДМК/ПН = 1:1:1) сприяє підвищенню швидкісної спроможності літій-іонної батареї при ( $-20^\circ\text{C}$ ): ємність досягає 62% при 1С, 46% – при 3 С, тоді як в контрольному електроліті вона дорівнює 6% та 4% відповідно. Ефект досягається евтектичною поведінкою карбонатів з нітрилом. На основі фазової діаграми передбачається можливість ефективного перетворення системи в евтектиці при  $-110^\circ\text{C}$ .

В роботі [55] досліджено низку ефірів, як співрозчинників в електролітах: метилпропіонат, етилпропіонат, метилбутират, етилбутират, про-

пілбутират, бутилбутират в багатокомпонентних електролітах: 1,0 моль·л<sup>-1</sup> LiPF<sub>6</sub>, ЕК+етилметилкарбонат (ЕМК)+Х (20:60:20 об.%) [Х=ефір-сополімер]. Ефект природи електроліту досліджували в системі мезопоруватий вуглець/LiNi<sub>x</sub>Co<sub>1-x</sub>O<sub>2</sub> з визначенням впливу на кінетику інтеркаляції/деінтеркаляції (за методами імпедансної спектроскопії, лінійної поляризації та Тафелівської поляризації). Електроліти були оптимізовані з задовільним перетворенням системи при температурах (від -60 до +60°C) за рахунок фіксації в електроліті ЕК на рівні 20% та ефіру-сополімера - 20%.

Електроліт 1 моль·л<sup>-1</sup> LiPF<sub>6</sub>, ЕК, ДМК, МА (метилацетат) із іонною провідністю 1 мСм·см<sup>-1</sup> при -50°C забезпечує кращі характеристики перетворення LiCoO<sub>2</sub>, ніж електроліт ЕК, ДЕК, 1 моль·л<sup>-1</sup> LiPF<sub>6</sub> [56].

Електроліт ДМК, фторетиленкарбонат, літієва сіль (1,05 моль·л<sup>-1</sup>) запропоновано як альтернатива електроліту ЕК, ДМК, ЕМК для ефективного перетворення літієвої батареї при температурах -40°C та +45°C при напрузі 4,4 В протягом сотні циклів [57].

Для роботи батарей на основі LiCoO<sub>2</sub> при підвищенні температурі запропоновано електроліт, до складу якого входять літієва сіль, що містить бор, γ-бутиролактон, циклічний карбонат, желеутворювач, органічний пероксид [58].

В досліженні [59] ряд добавок таких, як дифтороксалатоборат літію (LiDFOB), літій-4,5-циано-2-(трифторметил)-імідазол (LiTФMI), (LiBF<sub>4</sub>), ді-t-бутилпірокарбонат (ДБПК), апробовано в системі графіт/Li<sub>1.2</sub>Ni<sub>0.15</sub>Co<sub>0.10</sub>Mn<sub>0.55</sub>O<sub>2</sub> при низьких, кімнатній та високій температурах. Покращені характеристики спостерігаються в низці електролітів у порівнянні з контролем (1,2 моль·л<sup>-1</sup> LiPF<sub>6</sub>, ЕС+ЕМС, 30:70). Особливо яскравий ефект викликають LiBOB та LiDFOB.

Електроліт для перетворення літій-іонних батарей при температурі нижче -50°C, в складі якого евтектична або теревтектична суміш двох розчинників з низькою в'язкістю, ацетонітрил і суміш солей, запропоновано в [60]. Так, електроліт на основі 2,25 моль·л<sup>-1</sup> діетилдиметиламоній-тетра-фторборату має електропровідність при -25°C 4,2 мСм·см<sup>-1</sup>. Синергетичний ефект досягається в суміші ЕК з ПК та сумішшю солей DMIBF<sub>4</sub> і EMIBF<sub>4</sub>. Добавка γ-бутиролактону сприяє ефективному перетворенню батареї при температурах нижче -50°C.

#### *Фосфат літію-заліза (олівін)*

Широке використання в ЛІА знаходить фосфат LiFePO<sub>4</sub>, який характеризується питомою розрядною ємністю до 170 мА·год·г<sup>-1</sup>, високою ефективністю циклювання, термостабільністю, низькою вартістю [61].

Продукти електродної реакції в акумуляторі LiFePO<sub>4</sub>/C за реакцією (8) не є токсичними:



В числі недоліків LiFePO<sub>4</sub> низька іонна та електронна провідність. Для підвищення провідності LiFePO<sub>4</sub> на його кристали наносять вуглецеве покриття [62] та допірують гетеровалентними катіонами. При визначенні хімічної стабільності LiFePO<sub>4</sub> виявлено, що електроліти на основі LiPF<sub>6</sub> характеризуються підвищеною реакційною спроможністю до нього. Хімічна активність LiFePO<sub>4</sub> зростає з підвищенням температури [63].

Для підвищення хімічної стійкості олівінів стабілізують їх структуру. Так, включення заліза в структуру Li<sub>3</sub>V<sub>2</sub>(PO<sub>4</sub>)<sub>3</sub> подавляє реакцію взаємодії електрод /електроліт [64].

Заводи-виробники акумуляторів на основі LiFePO<sub>4</sub> знаходяться головним чином в Китаї. Акумулятори активно використовують в електромобілях, в батареях-накопичувачах енергії вітру, сонячної енергії, портативних електронних пристроях, медичній техніці та ін.

Перший розробник цих акумуляторів кампанія "A123 System" виробляє їх з такими показниками: робоча напруга 3,0÷3,3 В, мінімальна напруга 2,8 В; питома густина енергії 90÷110 Вт·год·г<sup>-1</sup>; питома потужність 6,6 Вт·г<sup>-1</sup>; число циклів до втрати 20% ємності 2000÷7000; термін збереження 15 років; діапазон робочих температур (-30÷55°C); саморозряд при кімнатній температурі 3-5% в місяць. При збереженні протягом 15 років при температурі 60°C втрата ємності становить 23%. Акумулятори мають стабільну розрядну напругу. Вони найкращі ХДС для заміни свинцево-кислотних батарей при послідовному з'єднанні елементів.

Акумулятори з LiFePO<sub>4</sub> повільніше втрачають ємність, ніж акумулятори з LiCoO<sub>2</sub> та LiMn<sub>2</sub>O<sub>4</sub>.

#### *Заключна частина*

Нові факти стосовно механізму перетворення акумулятора Li/S отримано нещодавно з визначенням проміжних сполук в реакції сірки з літієм (S<sup>-</sup>, полісульфідів, Li<sub>2</sub>S) [65]. Встановлено вплив природи розчинника на перетворення полісульфідів в сульфід Li<sub>2</sub>S, який формується після розрядження акумулятора на 25÷30%. В розчинниках з низькою діелектричною сталою перетворення відбувається швидше, ніж із високою.

Два фактори, які значною мірою негативно впливають на ефективне перетворення Li/S – це явище shuttling та дендритостворення на літію. Проблему shuttling вирішують шляхами:

1) використанням нових електролітів з підвищеною концентрацією літієвої солі ( $5\text{--}7 \text{ моль}\cdot\text{л}^{-1}$ ) – суперелектролітів;

2) використанням матриці для сірки із нанометровими порами.

В огляді [66] розглянуто надзвичайні фізико-хімічні якості суперелектролітів для літієвих акумуляторів, які відрізняються від характеристик розведених електролітів для комерційних батарей з концентрацією літієвої солі  $1 \text{ моль}\cdot\text{л}^{-1}$ . Важливим фактором суперелектролітів є структура. Вона характеризується наявністю комплексів катіонів літію з розчинником та асоціатів з аніонів солі. В ефективному електроліті Li/S практично не залишається вільного розчинника, необхідного для розчинення літієвих полісульфідів. Розглядається можливий вагомий внесок суперелектролітів в технологію літієвих акумуляторів, особливо таких перспективних, як Li/S та Li/O<sub>2</sub>. Переваги суперелектролітів: висока відновлююча та окиснювальна стабільність, алюмінієва антикорозія, термічна стабільність, низька леткість, швидкі електродні реакції, низька розчинність полісульфідів. Недоліки суперелектролітів: високі в'язкість та вартість.

В полімерних електролітах літієвих акумуляторів також ефективно застосовують високі концентрації літієвої солі [67].

Ефект припинення розчинності літієвих полісульфідів в електроліті Li/S спостерігається в іонному еквімолярному комплексі глим–Li сіль, в якому отримано ємність  $700 \text{ мА}\cdot\text{год}\cdot\text{г}^{-1}$  на 400-му циклі з кулонівською ефективністю 0,03%/цикл [68].

Як матриці для сірки в Li/S можуть бути 3D-поруваті вуглецеві матеріали, поруваті вуглецеві нанотрубки, 2D-графенові полоски, електропровідні полімери та ін. [69]. Ємність S-електрода з неполярними матрицями при тривалому циклуванні (більш як 300 циклів) зменшується внаслідок слабкого зв'язку неполярних матриць з полярними полісульфідами. Для досягнення тривалого циклування Li/S визначено ефективний спектр матеріалів з модифікованою поверхнею, які характеризуються сильними хімічними зв'язками з літієвими полісульфідами: оксиди та карбіди металів, метал-органічні каркасні сполуки та ін. Падіння ємності Li/S з ефективною матрицею при тривалому циклуванні зменшується до 0,03%/цикл.

Дендритостворення на літії в сірчаному акумуляторі вдається подолати застосуванням кремнію замість літію в негативному електроді [70]. Літій вводять як Li<sub>2</sub>S в позитивний електрод акумулятора Li<sub>2</sub>S/Si—C з електролітом ДОЛ, ДМЕ,  $0,5 \text{ моль}\cdot\text{л}^{-1}$ , LiTFSI. Нітрат літію сприяє утворенню захисної плівки Li<sub>x</sub>NO<sub>y</sub>, Li<sub>x</sub>SO<sub>y</sub>. Роз-

винена також технологія подолання дендритостворення на літії капсуляцією його в матриці з нанометровим розміром пор [20].

Причини деградації електроліту LiPF<sub>6</sub> визначаються зсувом рівноваги, існуючої в літієвій батареї між сіллю LiPF<sub>6</sub> та продуктами її розкладу PCl<sub>5</sub> та LiF, внаслідок взаємодії PCl<sub>5</sub> з розчинником з виділенням тепла [71].

Пропозиції щодо подолання саморозряду в літієвих джерелах струму в останній час зростають. Чисельні з них стосуються ефективних додатків в електроліти. Ефективними вважаються суміші 3–4-х хімічних сполук [72]. Пропонують нові додатки [73,74], солі [75], електроліти [76] та розчинники [77].

Як відомо, саморозряд залежить від низки факторів. Додаток в електроліт може впливати не на всі з них і не є універсальним, придатним для подолання саморозряду в ХДС з різними електродними матеріалами та електролітами. Так, позитивний вплив фторетиленкарбонату на стабільність поверхні літію та електрохімічне перетворення Li/S [78] спостерігається також на поверхні графіту та перетворенні LiNi<sub>1/3</sub>Co<sub>1/3</sub>Mn<sub>1/3</sub>O<sub>2</sub>-електрода в електроліті  $\gamma$ -бутиrolактон, ( $1 \text{ моль}\cdot\text{л}^{-1}$ ) LiBF<sub>4</sub> при підвищенні потенціалу до 4,6 В [79]. Поряд з цим відомі додатки фторетиленкарбонат та вініленкарбонат в електроліті LiPF<sub>6</sub>, ЕК, ДЕК (1:2 об.%) підвищують падіння ємності графіту при збереженні під впливом температури (30, 40, 50, 60°C) [80].

Капсуляція сірки в матриці для зниження розчинення літієвих полісульфідів в електроліті стала популярною. Різні матеріали для матриці та способи капсуляції дають позитивний ефект [81,82]. Досягнута 100% кулонівська ефективність циклування Li/S з розрядною ємністю 500 мА год  $^{-1}$  на 100-му циклі при застосуванні в матриці мікропоруватого вуглецю [82]. Ідея капсуляції поширюється на різні матеріали. Зокрема, вона сприяє розробці акумулятора FeS<sub>2</sub>/Li з рідинним електролітом, який працює при температурі довкіля [83].

Інша стратегія підвищення ефективності електрохімічного перетворення S-електрода – “ядро-оболонка” (core-shell – в англо-мовній літературі), дає можливість отримувати зворотну ємність сірки 800 мА год  $^{-1}$  після 100 циклів [84].

Не дивлячись на значні успіхи в подоланні саморозряду в літієвих ХДС, залишається багато невирішених проблем, які потребують нових ідей та розробок для зниження саморозряду, щоб наблизити строки широкого виходу енергоємних літієвих батарей на комерційний ринок.

## СПИСОК ЛІТЕРАТУРИ

1. Zu C., Li H. Thermodynamic analysis on energy densities of batteries // Energy Environmental Science. – 2011. – Vol.4. – P.2614-2624.
2. Li-O<sub>2</sub> and Li-S batteries with high energy storage / Bruce F.G., Freunberger S.A., Hardwick L.J., Tarascon J.-M. // Nature Materials. – 2012. – Vol.11. – P.19-29.
3. Sulfur-impregnated active carbon fiber cloth as a binder-free cathode for rechargeable Li-S batteries / Elazari R., Salitra G., Garsuch A., Panchenko A., Aurbach D. // Advanced Materials. – 2011. – Vol.23. – P.5641-5644.
4. Stabilising lithium-sulphur cathodes using polisulphide reservoirs / Evers S., Ji X.L., Black R., Nazar L.F. // Nature Communications. – 2011. – Vol.2. – P.235-241.
5. Hollow carbon nanofiber-encapsulated sulphur cathodes for high specific capacity rechargeable lithium batteries / Zheng G.Y., Yang Y., Cha J.J., Hong S.S., Cui Y. // Nano Letters. – 2011. – Vol.11. – P.4462-4467.
6. Schuster J., Nazar L.F. Graphene-enveloped sulfur in a one pot reaction a cathode with good coulombic efficiency and high practical sulfur content // Chemistry Communications. – 2012. – Vol.48. – P.1233-1235.
7. Porous hollow carbon and sulphur composites for high-power lithium-silphur batteries / Jayaprakash N., Shen J., Moganty S.S., Corona A., Archer A. // Angewandte Chemie International Edition. – 2011. – Vol.50. – № 26. – P.5904-5908.
8. Akridge J.R., Mikhaylik Y.Y., White N. Li/S fundamental chemistry and application to high-performance rechargeable battery // Solid State Ionics. – 2005. – Vol.175. – P.243-245.
9. Self discharge of lithium/sulfur battery using TEGDME liquid electrolyte / Ryu H.S., Ahn H.J., Kim K.W., Ahn J.H., Cho K.K., Nan T.H. // Electrochimica Acta. – 2006. – Vol. 52. – №. 4. – P.563-566.
10. Пат. № 8828610 США, МПК H01M 6/18 (2006.01), H01M 10/058 (2010.01), H01M 4/60 (2006.01), H01M 4/13 (2010.01), H01M 4/1397 (2010.01), H01M 4/136 (2010.01), H01M 4/38(2006.01), H01M 4/0567 (2010.01), H01M 6/16 (2006.01). Electrolytes for lithium ion sulfur cells. Yuriy V. Mikhaylik; Sion Power Corporation, (США) – № 12/106079; заявл. 18.04.08; опубл. 09.09.14. – 21 с. Пріоритет (США) – № 2008/0193835 від 14.08.08.
11. Пат. № 8679684 США, МПК (201001) H01M 4/58. Electrolyte for Lithium-Sulphur batteries and Lithium-Sulphur batteries using same / Kolosnitsyn Vladimir, Karaseva Elena; (Oxis Energy, Ltd.). – № 11/290825; заявл. 01.12.05; опубл. 25.03.14. – 15 с. Пріоритет (США) – № 20060121355 від 08.06.06.
12. Xu K. Nonaqueous liquid electrolytes for lithium based rechargeable batteries // Chemical Reviews. – 2004. – Vol.104. – P.4303-4407.
13. Пат. Заявка 2011/0200883 США, МПК (2006/01) H01M 4/58 (01.01.2010), H01B1/04 (01/01/2006). Devices, systems and methods for advanced rechargeable Cui Yi, Yang Yuan, McDowell Matthew, Jackson Atiel (США) – № 12/914876; заявл. 28.10. 10; опубл. 18.08.11. – 5 с. Пріоритет (США). – № 6125615 від 29.10.09.
14. Electrodes with high power and high capacity for rechargeable lithium batteries / Kang K., Meng Y.S., Breger J., Grey P., Ceder G. // Science. – 2006. – Vol.311. – P.977-980.
15. Rechargeable lithium/sulfur battery with suitable mixed liquid electrolytes / Choi J.W., Kim J.-K., Cheruvally G., Ahn J.H., Ahn H.-J., Kim K.W. // Electrochimica Acta. – 2007. – Vol.52. – P.2075-2082.
16. Sulfur-mesoporous carbon composites in conjunction with a novel ionic liquid electrolyte for lithium rechargeable batteries / Wang J., Chew S.Y., Zhao Z.W., Ashraf S., Wexler D., Chen J., Ng S.H. // Carbon. – 2008. – Vol.46. – P.229-235.
17. Zhen W. Novel nanosized adsorbing sulfur composite cathode materials for the advanced secondary lithium batteries // Electrochimica Acta. – 2006. – Vol.51. – P.1330-1335.
18. All solid-state battery with sulfur electrode and thio-LISICON electrolyte / Kobayashi T., Imade Y., Shishihara D., Homma K., Nagao M., Watanabe R., Yokoi T., Yamada A., Kanno R., Tatsumi T. // Journal of Power Sources. – 2008. – Vol.182. – P.621-625.
19. Ji X., Lee K.T., Nazar L.F. A highly ordered nanostructured carbon-sulphur cathode for lithium-sulphur batteries // Nature Materials. – 2009. – Vol.8. – P.500-506.
20. Пат. 9112240 США, МПК H01M4/13 (2010.01), H01M10/0525 (2010.01), B82Y 30/00 (2011.01), H01M4/04 (2010.01), H01M 4/136 (2010.01), H01M 4/1397 (2010.01), H01M 4/58 (2010.01), H01M 4/62 (2006.01). Lithium metal-sulfur and lithium ion-sulfur secondary batteries containing a nano-structured cathode and processes for producing same. Zhamu Aruna, Jang Bor Z., Yu Zenning; Nanotek Instruments, Inc. (США). – № 12/655597; заявл. 04.01.10; опубл. 18.08.15. – 29 с. Пріоритет (США). – № 2011/0165466 від 07.07.11.
21. Lithium superionic conductor / Kamaya N., Homma K., Yamakawa Y., Hirayama M., Kanno R., Yonemura M., Kamiyama T., Kato Y., Hama S., Kawamoto K., Mitsui A. // Nature Materials. – 2011. – Vol.10. – P.682-686.
22. Naga M., Hayashi A., Tatsumisago M. Sulfide-carbon composite electrode for all-solid-state Li/S battery with Li<sub>2</sub>S-P<sub>2</sub>S solid electrolyte // Electrochimica Acta. – 2011. – Vol.56. – P.6055-6059.
23. A new class of solvent-in-salt electrolyte for high-energy rechargeable metallic lithium batteries / Suo L.A., Hu Y.-S., Li H., Armand M., Chen L. // Nature Communications. – 2013. – Vol.4. – Article № 1481. Available at: <http://dx.doi.org/10.1038/ncomms2513>.
24. Электролитические сульфиды Fe, Co, Ni в макетном литиевом аккумуляторе с электролитами на основе алкилкарбонатных электролитов с солями LiBO<sub>2</sub> и LiClO<sub>4</sub> / Апостолова Р.Д., Коломоец О.В., Шембель Е.М., Присяжный В.Д., Глоба Н.И., Диамант В.А. // Допов. Нац. Акад. Наук України. – 2011. – № 7. – С.126-133.
25. Lithium insertion into manganese spinels / Thackery M.M., David W.I.F., Bruce P.G., Goodenough J.B. // Material Research Bulletin. – 1983. – Vol.18. – № 4. – P.461-472.
26. Preparation and doping mode of doped LiMn<sub>2</sub>O<sub>4</sub> for Li-ion batteries / Liu Q., Wang S., Tan H., Yang Z., Zeng J. // Energies. – 2013. – Vol.6. – P.1718-1730.
27. Characterization of Al-doped spinel LiMn<sub>2</sub>O<sub>4</sub> thin cathode electrodes prepared by liquid misted chemical deposition (LSMCD) technique / Kim W.K., Lee S.-W., Han K.-S., Chung

- H.J., Woo S.I. // *Electrochimica Acta*. – 2003. – Vol.48. – P.4223-4231.
28. Apostolova R.D., Peskov R.P., Shembel E.M. Compositions of Co-doped  $\text{LiMn}_2\text{O}_4$  spinel with MCNT in lithium prototype accumulator // *ECS Transactions*. – 2014. – Vol.63. – P.3-13.
  29. Enhanced cycling stability of  $\text{LiMn}_2\text{O}_4$  by surface modification with melting impregnation method / Tu J., Zhao X.B., Cao G.S., Zhuang D.G., Zhu T.J., Tu T.J. // *Electrochimica Acta*. – 2006. – Vol.51. – P.6456-6462.
  30. Поверхностно-модифицированные катодные материалы на основе  $\text{LiCoO}_2$  и  $\text{LiMn}_2\text{O}_4$  / Махонина Е.В., Шатило Я.В., Дубасова В.С., Николенко А.Ф., Пономарева Т.А., Кистерев Э.В., Первов В.С. // Неорганические материалы. – 2009. – Т.45. – № 8. – С.1006-1012.
  31. Lundgren H., Behm M., Lundgren G. Electrochemical characterization and temperature dependence of mass-transport properties of  $\text{LiPF}_6$  in EC: DEC // *Journal of the Electrochemical Society*. – 2015. – Vol.162. – № 3. – P.A413-A420.
  32. Preparation and electrochemical properties of spherical  $\text{LiMn}_2\text{O}_4$  surface doped with cobalt / Guo S.H., He X.M., Zeng Q.X., Jiang C.Y., Wan C.R. // *New Chemical Materials*. – 2007. – Vol.35. – P.34-36.
  33. Iqbal M.J., Zahoor S.H.G. Synthesis and characterization of nanosized lithium manganate and its derivatives // *Journal of Power Sources*. – 2007. – Vol.165. – P.393-397.
  34. Преобразование шпинели  $\text{LiMn}_{2-x}\text{Co}_x\text{O}_4$  на основе электролитически соосажденных Mn,Co-оксидных предшественников в литиевом аккумуляторе / Шембель Е.М., Апостолова Р.Д., Орбах Д., Марковский Б. // Журн. прикл. химии. – 2014. – Т.87. – № 9. – С.1265-1273.
  35. Liu X., Tan D. Влияние нанослойного покрытия из  $\text{AlF}_3$  на циклическую способность  $\text{LiMn}_2\text{O}_4$ -электрода литий-ионного аккумулятора при повышенных температурах // Электрохимия. – 2009. – Т.45. – № 7. – С.817-819.
  36. Huang J., Jang H. Evolution of solid electrolyte interphase during cycling its effect on electrochemical properties of  $\text{LiMn}_2\text{O}_4$  // *Journal of the Electrochemical Society*. – 2015. – Vol.162. – № 1. – P.A103-A107.
  37. Preparation of co-doped spherical spinel  $\text{LiMn}_2\text{O}_4$  cathode materials for Li-ion batteries / He X.M., Li J.J., Cai Y., Wang Y.W., Ying J.R., Jiang C.Y., Wan C.R. // *Journal of Power Sources*. – 2005. – Vol.150. – P.216-222.
  38. Композитные катодные материалы на основе  $\text{LiCoO}_2$  и  $\text{LiMn}_2\text{O}_4$  / Шатило Я.В., Махонина Е.В., Первов В.С., Дубасова В.С., Николенко Ф.Ф., Доброхотова Ж.В., Кедринский И.А. // Неорганические материалы. – 2006. – Т.42. – № 7. – С.863-868.
  39. Manganese dissolution from  $\text{LiMn}_2\text{O}_4$  cathodes at elevated temperature: methylene methanedisulfonate as electrolyte additive / Wang R., Li X., Wang Z., Guo H. // *Journal of Solid State Electrochemistry*. – 2015. Available at: <http://dx.doi.org/10.1007/s10008-015-2998-1>.
  40. Electrochemical properties of spinel  $\text{LiMn}_2\text{O}_4$  and  $\text{LiAl}_{0.1}\text{Mn}_{1.5}\text{O}_{3.9}\text{F}_{0.1}$  synthesized by solid reaction / Li T., Qiu W., Zhao H., Liu J. // *Journal of University of Science and Technology Beijing*. – 2008. – Vol.15. – № 2. – P.187-191.
  41. Structural and electrochemical properties of the doped spinels  $\text{Li}_{1.05}\text{M}_{0.02}\text{Mn}_{1.98}\text{O}_{3.98}\text{N}_{0.02}$  ( $\text{M}=\text{Ga}^{3+}$ ,  $\text{Al}^{3+}$ , or  $\text{Co}^{3+}$ ;  $\text{N}=\text{S}^{2-}$  or  $\text{F}^-$ ) for use as cathode material in lithium batteries / Amaral F.A., Bocchi N., Brocenschi R.F., Biaggio S.R., Rocha-Filho R.C. // *Journal of Power Sources*. – 2010. – Vol.195. – P.3293-3299.
  42. Advanced cathode materials for high-power applications / Amine K., Liu J., Belharouak I., Kang S., Bloom J., Vissers D., Henricson G. // *Journal of Power Sources*. – 2005. – Vol.146. – P.111-115.
  43. Jang D.H., Shin Y.J., Oh S. Dissolution of spinel oxide and capacity losses in 4V  $\text{Li}/\text{Li}_x\text{Mn}_2\text{O}_4$  cells // *Journal of the Electrochemical Society*. – 1996. – Vol.143. – P.2204-2211.
  44. Cycling and storage performance at elevated temperatures of  $\text{LiNi}_{0.5}\text{Mn}_{1.5}\text{O}_4$  positive electrodes for advanced 5 V Li-ion batteries / Markovsky B., Talyossef Y., Salitra G., Aurbach D., Kim H., Chois S. // *Electrochemistry Communications*. – 2004. – Vol.6. – P.821-826.
  45. A pentafluorophenylboron oxalate additive in non-aqueous electrolytes for lithium batteries / Li L.F., Lee H.S., Yang X.Q., Huang X.Y. // *Electrochemistry Communications*. – 2009. – Vol.11. – P.2296-2299.
  46. Lithium Difluoro (oxalato) borate/ethylene carbonate + propylene carbonate + ethyl (methyl) carbonate electrolyte for  $\text{LiMn}_2\text{O}_4$  cathode / Fu M.H., Huang K.L., Liu S.Q., Li J.S., Li Y.K. // *Journal of Power Sources*. – 2010. – Vol.195. – P.862-866.
  47. Effect of heptamethyldisilazane as an additive on the stability performance of  $\text{LiMn}_2\text{O}_4$  cathode for lithium-ion battery / Li Y., Zhang R., Liu J., Yang C. // *Journal of Power Sources*. – 2009. – Vol.189. – P.685-688.
  48.  $\text{Li}_x\text{CoO}_2$  ( $0 < x < 1$ ): a new cathode material for batteries of high energy density / Mizushima K., Jones P.C., Wiceman P.J., Goodenough J.B. // *Material Research Bulletin*. – 1980. – Vol.15. – P.783-789.
  49. In situ XRD studies of the structural changes of  $\text{ZrO}_2$ -coated  $\text{LiCoO}_2$  during cycling and their effects on capacity retention on lithium batteries / Chung K., Yoon W.-S., Lee H.-S., McBreen J., Yang X.-Q., Oh S.H., Ryu W.H., Lee J.L., Cho W.I., Cho B.W. // *Journal of Power Sources*. – 2006. – Vol.163. – P.185-190.
  50. Preparation and electrochemical characteristics of  $\text{LiNi}_{1/3}\text{Mn}_{1/3}\text{Co}_{1/3}\text{O}_2$  coated with metal oxides coating / Li D., Kato Y., Kobayakawa K., Naguchi H., Sato J. // *Journal of Power Sources*. – 2006. – Vol.160. – № 2. – P.1342-1348.
  51. Temperature dependent ageing mechanisms in lithium-ion batteries – a post-mortem study / Waldmann T., Wilka M., Kasper M., Fleischhammer M., Mehrens M.W. // *Journal of Power Sources*. – 2014. – Vol.262. – P.129-135.
  52. Lazar M.L., Lucht B.L. Carbonate free electrolyte for Li Ion batteries containing  $\gamma$ -butyrolactone and methyl butyrate // *Journal of the Electrochemical Society*. – 2015. – Vol.162. – № 6. – P.A928-A934.
  53. The use of methyl propionate-based electrolytes with additives to improve the low temperature performance of  $\text{LiNiCoAlO}_2$ -based Li-ion cells / Smart M.C., Tomcsik M.R., Whitcanack L.D., Ratnakumar B.V., Nagata M., Visco V. // Abstracts of the 224<sup>th</sup> ECS Meeting. USA, San Francisco, 2013, abstracts № 1135.

54. *Nitrile-assistant eutectic electrolytes for cryogenic operation of lithium ion batteries at fast charges and discharges* / Smart M.C., Cho Y.-G., Kim Y.-S., Sung D.G., Seo M.-S., Song H.-K. // Energy Environmental Science. – 2014. – Vol.7. – P.1737-1743.
55. *Lithium-ion electrolytes containing ester cosolvents for improved low temperature performance* / Smart M.C., Ratnakumar K.B., Chin K.B., Whitcanack L.D. // Journal of the Electrochemical Society. – 2010. – Vol.157. – № 12. – P.A1361-A1374.
56. *Low temperature electrolytes for Li ion batteries* / He X.M., Pu W., Han J., Yu Y., Jiang C., Chen J., Wan C. // Key Engineering Materials. – 2007. – Vol.336-338. – P.530-532.
57. Заявка WO 2013/090417 МПК (2006/01) H01M 4/36, H01M 10/0566, H01M 10/052. Low temperature electrolyte for high capacity lithium based batteries. Li Bing, Amiruddin Shabab (Envia Systems, Inc.) (США). – PCT/US2012/069225; заявл. 12.12.12; опубл. 20.06.13. – 70 с. Пріоритет (США) – № 2011/13325367 від 14.12.11.
58. Пат. 7491471 США, МПК (2006.01) H01M 6/16. Electrolyte for lithium secondary battery and lithium secondary battery comprising same / Yamaguchi Takitaro, Shimizu Ryuichi, Chung Hyun-Jei, Jung Cheol-Soo, Noh Hyeong-Gon, Song Eui-Hwan, Kim Joong-Hun; Samsung SDI Co., Ltd., (KR). – № 10/891 233; заявл. 15.07.04; опубл. 17.02.09. – 15 с. Пріоритет (США) – № 20050014072 від 20.01.05.
59. *The use of methyl butyrate-based electrolytes with additives to enable the operation of Li-ion cells with high voltage cathodes over a wide temperature range* / Krause F.C., Hwang C., Ratnakumar B.V., Smart M.C. // Abstracts of the 224<sup>th</sup> ECS Meeting. USA, San Francisco, 2013, abstracts № 1140.
60. Пат. 7675737 США, МПК (2006.01) H01G 9/00. Low temperature nonaqueous electrolyte / Smith W. Novis, McCloskey Joel R.; Lithdyne LLC (США). – № 12/217209; заявл. 02.07.08; опубл. 09.03.10. – 7 с.
61. Padhi A.K., Nanjundaswamy K.S., Goodenough J.B. Phospho-olivines as positive electrode materials for rechargeable lithium batteries // Journal of Solid State Electrochemistry. – 1997. – Vol.144. – № 4. – P.1188-1194.
62. Impact of carbon structure and morphology on the electrochemical performance of LiFePO<sub>4</sub>/C composites / Doeff M.M., Wilcox J.D., Yu R., Aumentado A., Marcinek M., Kostecki R. // Journal of Solid State Electrochemistry. – 2008. – Vol.12. – № 7. – P.995-1001.
63. *Review on electrode-electrolyte solution interactions, related to cathode materials for Li-ion batteries* / Aurbach D., Markovsky B., Salitra G., Markevich E., Talyossef Y., Koltypin M., Nazar L., Ellis B., Kovacheva D. // Journal of Power Sources. – 2007. – Vol.165. – P.491-499.
64. Huang Y., Ignatov A., Cruft M. Insight into Fe incorporation in L<sub>13</sub>V<sub>2</sub>(PO<sub>4</sub>)<sub>3</sub> / C cathode material // Journal of the Electrochemical Society. – 2012. – Vol.159. – № 10. – P.A1573-A1578.
65. Operando characterization of intermediates produced in a lithium-sulfur battery / Gorlin Y., Siebel A., Piana M., Huthwelker T., Yha H., Monsch G., Kraus F., Gasteiger H.A., Tromp M. // Journal of the Electrochemical Society. – 2015. – Vol.162. – № 7. – P.A1146-A1155.
66. Yamada Y., Yamada A. Review – Superconcentrated electrolytes for lithium batteries // Journal of the Electrochemical Society. – 2015. – Vol.162. – № 14. – P.A2406-A2423.
67. Review – On order and disorder in polymer electrolytes / Golodnitsky D., Strauss E., Peled E., Greenbaum S. // Journal of the Electrochemical Society. – 2015. – Vol.162. – № 14. – P.A2551-A2566.
68. Solvate ionic liquid electrolyte for Li-S batteries / Dokko K., Tachikawa N., Yamauchi K., Tsuchiya M., Yamazaki A., Takashima E., Park Y.-W., Ueno K., Seki S., Serizawa N., Watanabe M. // Journal of the Electrochemical Society. – 2013. – Vol.160. – № 8. – P.A1304-A1310.
69. Review – the importance of chemical interactions between sulfur host material and lithium polysulfides for advanced lithium-sulfur batteries / Pang Q., Liang X., Kwok C.Y., Nazar L.F. // Journal of the Electrochemical Society. – 2015. – Vol.162. – № 14. – P.A2567-A2576.
70. Li-S batteries with Li<sub>2</sub>S cathodes and Si/C anodes / Jha H., Buchberger I., Cui X., Meini S., Gasteiger H.A. // Journal of the Electrochemical Society. – 2015. – Vol.162. – № 9. – P.A1829-A1835.
71. The rate equation of decomposition for electrolytes with LiPF<sub>6</sub> in Li-ion cells at elevated temperatures / Yamaki J.-I., Shinyo Y., Doi T., Okada S., Ogumi Z. // Journal of the Electrochemical Society. – 2015. – Vol.162. – № 4. – P.A520-A530.
72. Ternary and quaternary electrolyte additive mixtures for Li-ion cells that promote long life time, high discharge rate and better safety / Ma L., Wang D.Y., Downie L.E., Xia J., Nelson K.J., Sinha N.N. // Journal of the Electrochemical Society. – 2014. – Vol.161. – № 9. – P.A1261-A1265.
73. Nie M., Xia J., Dahn J.R. Development of pyridine-boron trifluoride electrolyte additives for lithium-ion batteries // Journal of the Electrochemical Society. – 2015. – Vol.162. – № 7. – P.A1186-A1195.
74. Electrolyte additive and electrolyte and lithium rechargeable battery including same / Khasanov M., Shin W.-C., Chernishov D., Tereshchenko A., Egorov V., Shatunov P. // Patent US. – № 8940434. – 2015.
75. Electrochemical and thermal investigation and Al current collector dissolution studies of three di-lithium salts in comparison to LiPF<sub>6</sub> containing electrolytes / Murmann P., Schmitz R., Nowak S., Gores H., Ignatiev N., Sartori P., Passerini S., Winter M., Schmitz R.W. // Journal of the Electrochemical Society. – 2013. – Vol.160. – № 4. – P.A535-A541.
76. Propylene carbonate (PC)-based electrolytes with high coulombic efficiency to Li-ion batteries / Zhao H., Park S.-J., Shi F., Fu Y., Battaglia V., Ross Jr.P.N., Liu G. // Journal of the Electrochemical Society. – 2014. – Vol.161. – № 1. – P.A194-A200.
77. Fluorinated electrolytes for Li/S battery: Suppressing the self-discharge with an electrolyte containing fluoroether solvent / Azimi N., Xue Z., Rago N.D., Takoudis C., Gordin M.L., Song J., Wang D., Zhang Z. // Journal of the Electrochemical Society. – 2015. – Vol.162. – № 1. – P.A64-A68.
78. Effects of fluoroethylene carbonate on electrochemical performance of lithium electrodes and lithium-sulfur batteries / Song J.-H., Yeon J.-T., Jang J.-Y., Han J.-G., Lee S.-M., Choi N.-S. // Journal of the Electrochemical Society. – 2013. –

Vol.160. – № 6. – P.A873-A881.

79. Fluoroethylene carbonate as an additive for  $\gamma$ -butyrolactone based electrolytes / Kasnatscheew J., Schmitz R.W., Wagner R., Winter M., Schmitz R. // Journal of the Electrochemical Society. – 2013. – Vol.160. – № 9. – P.A1369-A1374.

80. Sinha N.N., Burns J.C., Dahn J.R. Storage studies on Li/graphite cells and the impact of so-called SEI-forming electrolyte additives // Journal of the Electrochemical Society. – 2013. – Vol.160. – № 4. – P.A709-A714.

81. Sulfur cathodes with carbon current collector for Li-S cells / Hagen M., Feisthammel G., Fanz P., Grossmann H.T., Dorfler S., Tubke J., Hoffmann M.J., Borner D., Joos M., Althus H., Kaskel S. // Journal of the Electrochemical Society. – 2013. – Vol.160. – № 6. – P.A996-A1002.

82. Li–S cathodes with extended cycle life by sulfur encapsulation in disordered micro-porous carbon powder / Rosenman A., Elazari R., Salitra G., Aurbach D., Garsuch A. // Journal of the Electrochemical Society. – 2014. – Vol.161. – № 5. – P.A657-A662.

83. Carbon-encapsulated pyrite as stable and earth-abundant high energy cathode material for rechargeable lithium batteries / Liu J., Wen Y., Wang Y., van Aken P.A., Maier J., Yu Y. // Advanced Materials. – 2014. – Vol.26. – № 34. – P.6025-6030.

84. Effect of carbon core grafting on the properties of carbon-sulfur composite for lithium/sulfur battery / Zhang C., Wang W., Wang A., Yuan K., Yuan K., Yang Y., Lu Y. // Journal of the Electrochemical Society. – 2015. – Vol.162. – № 6. – P.A1067-A1071.

Надійшла до редакції 16.11.2015

## THE SELF-DISCHARGE IN THE POSITIVE ELECTRODES OF LITHIUM POWER SOURCES: A REVIEW

R.D. Apostolova, E.M. Shembel'

Ukrainian State University of Chemical Technology,  
Dnepropetrovsk, Ukraine

Literature data concerning the solution of the problems of the self-discharge of positive electrodes in lithium-ion cells and lithium-ion batteries under the conditions of their storage and long cycling are reviewed and analyzed. A special attention is focused on the retention of the charges in lithium-ion power sources at high and low temperatures in the range of  $-40$  to  $60^{\circ}\text{C}$ . The characteristics of the self-discharge and the methods of its overcoming in the lithium-ion power sources on the basis of sulfur,  $\text{FeS}_2$ , spinel  $\text{LiMn}_2\text{O}_4$ ,  $\text{LiCoO}_2$ , and  $\text{LiFePO}_4$  are given. The problem of  $S_8$  self-discharge may be resolved by different means as follows: (i) using new electrolytes with increased concentration of lithium salt (from 5 to 7 mol· $\text{L}^{-1}$ ), they are called as super-electrolytes; and (ii) using some matrix with nanoscale porous to capsule sulfur and lithium. The possible weighty contribution of super-electrolytes in the technology of lithium-ion batteries, especially of such perspective as  $\text{Li}/\text{S}$  and  $\text{Li}/\text{O}_2$ , is considered. The idea of the encapsulation is extended to some other electrode materials too. Particularly, it provides the elaboration of  $\text{FeS}_2/\text{Li}$  power sources with liquid electrolyte working at an environmental temperature. Another strategy to increase the efficiency of the electrochemical transformation of  $S_8$ -electrode in lithium-ion battery, namely a «core-shell», allows obtaining high capacity after 100 cycles. Numerous propositions to decrease the self-discharge in lithium-ion power sources, which have been made recently, concern application of effective new lithium salts, solvents, new electrolytes and additives in the electrolytes. The additive is not a universal

means to prevent the self-discharge of various electrode materials in different electrolytes; its choice is often particular, not universal.

**Keywords:** self-discharge; lithium-ion power sources; temperature; positive electrodes;  $\text{S}_8$ ;  $\text{FeS}_2$ ;  $\text{LiCoO}_2$ ;  $\text{LiFePO}_4$ ;  $\text{LiMn}_2\text{O}_4$  spinel.

## REFERENCES

- Zu C., Li H. Thermodynamic analysis on energy densities of batteries. *Energy Environmental Science*, 2011, vol. 4, pp. 2614-2624.
- Bruce F.G., Freunberger S.A., Hardwick L.J., Tarascon J.-M.  $\text{Li}-\text{O}_2$  and Li-S batteries with high energy storage. *Nature Materials*, 2012, vol. 11, pp. 19-29.
- Elazari R., Salitra G., Garsuch A., Panchenko A., Aurbach D. Sulfur-impregnated active carbon fiber cloth as a binder-free cathode for rechargeable Li-S batteries. *Advanced Materials*, 2011, vol. 23, pp. 5641-5644.
- Evers S., Ji X.L., Black R., Nazar L.F. Stabilising lithium–sulphur cathodes using polisulphide reservoirs. *Nature Communications*, 2011, vol. 2, pp. 235-241.
- Zheng G.Y., Yang Y., Cha J.J., Hong S.S., Cui Y. Hollow carbon nanofiber-encapsulated sulphur cathodes for high specific capacity rechargeable lithium batteries. *Nano Letters*, 2011, vol. 11, pp. 4462-4467.
- Schuster J., Nazar L.F. Graphene-enveloped sulfur in a one pot reaction a cathode with good coulombic efficiency and high practical sulfur content. *Chemistry Communications*, 2012, vol. 48, pp. 1233-1235.
- Jayaprakash N., Shen J., Moganty S.S., Corona A., Archer A. Porous hollow carbon and sulphur composites for high-power lithium-silphur batteries. *Angewandte Chemie International Edition*, 2011, vol. 50, no. 26, pp. 5904-5908.
- Akridge J.R., Mikhaylik Y.Y., White N. Li/S fundamental chemistry and application to high-performance rechargeable battery. *Solid State Ionics*, 2005, vol. 175, pp. 243-245.
- Ryu H.S., Ahn H.J., Kim K.W., Ahn J.H., Cho K.K., Nan T.H. Self discharge of lithium/sulfur battery using TEGDME liquid electrolyte. *Electrochimica Acta*, 2006, vol. 52, no. 4, pp. 563-566.
- Mikhaylik Y.V., *Electrolytes for lithium ion sulfur cells*. Patent US, no. 8828610, 2014.
- Kolosnitsyn V., Karaseva E., *Electrolyte for lithium–sulphur batteries and lithium–sulphur batteries using same*. Patent US, no. 8679684, 2014.
- Xu K. Nonaqueous liquid electrolytes for lithium based rechargeable batteries. *Chemical Reviews*, 2004, vol. 104, pp. 4303-4407.
- Cui Yi, Yang Y., McDowell M., Jackson A., *Devices, systems and methods for advanced rechargeable*. Patent Application US, no. 12/914876, 2011.
- Kang K., Meng Y.S., Breger J., Grey P., Ceder G. Electrodes with high power and high capacity for rechargeable lithium batteries. *Science*, 2006, vol. 311, pp. 977-980.
- Choi J.W., Kim J.-K., Cheruvally G., Ahn J.H., Ahn H.-J., Kim K.W. Rechargeable lithium/sulfur battery with suitable mixed liquid electrolytes. *Electrochimica Acta*, 2007, vol. 52, pp. 2075-2082.
- Wang J., Chew S.Y., Zhao Z.W., Ashraf S., Wexler D., Chen J., Ng S.H. Sulfur-mesoporous carbon composites in conjunction with a novel ionic liquid electrolyte for lithium rechargeable batteries. *Carbon*, 2008, vol. 46, pp. 229-235.
- Zhen W. Novel nanosized adsorbing sulfur composite cathode materials for the advanced secondary lithium batteries. *Electrochimica Acta*, 2006, vol. 51, pp. 1330-1335.
- Kobayashi T., Imade Y., Shishihara D., Homma K., Nagao M., Watanabe R., Yokoi T., Yamada A., Kanno R., Tatsumi T. All solid-state battery with sulfur electrode and thio-LISICON electrolyte. *Journal of Power Sources*, 2008, vol. 182, pp. 621-625.
- Ji X., Lee K.T., Nazar L.F. A highly ordered nanostructured carbon-sulphur cathode for lithium-sulphur batteries.

- Nature Materials*, 2009, vol. 8, pp. 500-506.
20. Zhamu A., *Lithium metal-sulfur and lithium ion-sulfur secondary batteries containing a nano-structured cathode and processes for producing same*. Patent US, no. 9112240, 2015.
  21. Kamaya N., Homma K., Yamakawa Y., Hirayama M., Kanno R., Yonemura M., Kamiyama T., Kato Y., Hama S., Kawamoto K., Mitsui A. Lithium superionic conductor. *Nature Materials*, 2011, vol. 10, pp. 682-686.
  22. Naga M., Hayashi A., Tatsumisago M. Sulfide-carbon composite electrode for all-solid-state Li/S battery with Li<sub>x</sub>S-P<sub>x</sub>S solid electrolyte. *Electrochimica Acta*, 2011, vol. 56, pp. 6055-6059.
  23. Suo L.A., Hu Y.-S., Li H., Armand M., Chen L. A new class of solvent-in-salt electrolyte for high-energy rechargeable metallic lithium batteries. *Nature Communications*, 2013, vol. 4, Article no. 1481. Available at: <http://dx.doi.org/10.1038/ncomms2513>.
  24. Apostolova R.D., Kolomoyets O.V., Shembel E.M., Prisyajnyi V.D., Globa N.I., Diamand V.A. Elektroliticheskiye sulfidi Fe, Co, Ni v maketnom litiyevom akumulatorye na osnovye alkilkarbonatnih elektrolitov s solyami LiBOB i LiClO<sub>4</sub> [Electrolytic Fe, Co, Ni sulfides in model lithium battery on the basis of alkyl carbonate electrolytes with LiBOB and LiClO<sub>4</sub> salts]. *Dopovidi Natsional'noi Akademii Nauk Ukrainskoyi*, 2011, no. 7, pp. 126-133. (in Russian).
  25. Thackery M.M., David W.I.F., Bruce P.G., Goodenough J.B. Lithium insertion into manganese spinels. *Material Research Bulletin*, 1983, vol. 18, no. 4, pp. 461-472.
  26. Liu Q., Wang S., Tan H., Yang Z., Zeng J. Preparation and doping mode of doped LiMn<sub>2</sub>O<sub>4</sub> for Li-ion batteries. *Energies*, 2013, vol. 6, pp. 1718-1730.
  27. Kim W.K., Lee S.-W., Han K.-S., Chung H.J., Woo S.I. Characterization of Al-doped spinel LiMn<sub>2</sub>O<sub>4</sub> thin cathode electrodes prepared by liquid misted chemical deposition (LSCMD) technique. *Electrochimica Acta*, 2003, vol. 48, pp. 4223-4231.
  28. Apostolova R.D., Peskov R.P., Shembel E.M. Compositions of Co-doped LiMn<sub>2</sub>O<sub>4</sub> spinel with MCNT in lithium prototype accumulator. *ECS Transactions*, 2014, vol. 63, pp. 3-13.
  29. Tu J., Zhao X.B., Cao G.S., Zhuang D.G., Zhu T.J., Tu T.J. Enhanced cycling stability of LiMn<sub>2</sub>O<sub>4</sub> by surface modification with melting impregnation method. *Electrochimica Acta*, 2006, vol. 51, pp. 6456-6462.
  30. Makhonina E.V., Shatilo Ya.V., Dubasova V.S., Nikolenko A.F., Ponomareva T.A., Kisterev E.V., Pervov V.S. Surface-modified cathode materials based on an LiCoO<sub>2</sub>-LiMn<sub>2</sub>O<sub>4</sub> composite. *Inorganic Materials*, 2009, vol. 45, no. 8, pp. 935-941.
  31. Lundgren H., Behm M., Lundgren G. Electrochemical characterization and temperature dependence of mass-transport properties of LiPF<sub>6</sub> in EC: DEC. *Journal of the Electrochemical Society*, 2015, vol. 162, no. 3, pp. A413-A420.
  32. Guo S.H., He X.M., Zeng Q.X., Jiang C.Y., Wan C.R. Preparation and electrochemical properties of spherical LiMn<sub>2</sub>O<sub>4</sub> surface doped with cobalt. *New Chemical Materials*, 2007, vol. 35, pp. 34-36.
  33. Iqbal M.J., Zahoor S.H.G. Synthesis and characterization of nanosized lithium manganate and its derivatives. *Journal of Power Sources*, 2007, vol. 165, pp. 393-397.
  34. Shembel' E.M., Apostolova R.D., Aurbah D., Markovsky B. Conversion of LiMn<sub>2-x</sub>Co<sub>x</sub>O<sub>4</sub> spinel on the basis of electrolytically co-deposited Mn<sub>x</sub>Co<sub>1-x</sub>O<sub>2</sub> precursor in a lithium battery. *Russian Journal of Applied Chemistry*, 2014, vol. 87, no. 9, pp. 1260-1267.
  35. Liu H., Tan D. The effect of nanolayer AlF<sub>3</sub> coating on LiMn<sub>2</sub>O<sub>4</sub> cycle life in high temperature for lithium secondary batteries. *Russian Journal of Electrochemistry*, 2009, vol. 45, no. 7, pp. 762-764.
  36. Huang J., Jang H. Evolution of solid electrolyte interphase during cycling its effect on electrochemical properties of LiMn<sub>2</sub>O<sub>4</sub>. *Journal of the Electrochemical Society*, 2015, vol. 162, no. 1, pp. A103-A107.
  37. He X.M., Li J.J., Cai Y., Wang Y.W., Ying J.R., Jiang C.Y., Wan C.R. Preparation of co-doped spherical spinel LiMn<sub>2</sub>O<sub>4</sub> cathode materials for Li-ion batteries. *Journal of Power Sources*, 2005, vol. 150, pp. 216-222.
  38. Shatilo Ya.V., Makhonina E.V., Pervov V.S., Dubasova V.S., Nikolenko A.F., Dobrokhotova Zh.V., Kedrinskii I.A. LiCoO<sub>2</sub>- and LiMn<sub>2</sub>O<sub>4</sub>-based composite cathode materials. *Inorganic Materials*, 2006, vol. 42, no. 7, pp. 782-787.
  39. Wang R., Li X., Wang Z., Guo H. Manganese dissolution from LiMn<sub>2</sub>O<sub>4</sub> cathodes at elevated temperature: methylene methanesulfonate as electrolyte additive. *Journal of Solid State Electrochemistry*, 2015. Available at: <http://dx.doi.org/10.1007/s10008-015-2998-1>.
  40. Li T., Qiu W., Zhao H., Liu J. Electrochemical properties of spinel LiMn<sub>2</sub>O<sub>4</sub> and LiAl<sub>0.1</sub>Mn<sub>1.5</sub>O<sub>3.9</sub>F<sub>0.1</sub> synthesized by solid reaction. *Journal of University of Science and Technology Beijing*, 2008, vol. 15, no. 2, pp. 187-191.
  41. Amaral F.A., Bocchi N., Brocenschi R.F., Biaggio S.R., Rocha-Filho R.C. Structural and electrochemical properties of the doped spinels Li<sub>1.05</sub>M<sub>0.02</sub>Mn<sub>1.98</sub>O<sub>3.98</sub>N<sub>0.02</sub> (M = Ga<sup>3+</sup>, Al<sup>3+</sup>, or Co<sup>3+</sup>; N = S<sup>2-</sup> or F<sup>-</sup>) for use as cathode material in lithium batteries. *Journal of Power Sources*, 2010, vol. 195, pp. 3293-3299.
  42. Amine K., Liu J., Belharouak I., Kang S., Bloom J., Vissers D., Henricsen G. Advanced cathode materials for high-power applications. *Journal of Power Sources*, 2005, vol. 146, pp. 111-115.
  43. Jang D.H., Shin Y.J., Oh S. Dissolution of spinel oxide and capacity losses in 4V Li/Li<sub>x</sub>Mn<sub>2</sub>O<sub>4</sub> cells. *Journal of the Electrochemical Society*, 1996, vol. 143, pp. 2204-2211.
  44. Markovsky B., Talyossef Y., Salitra G., Aurbach D., Kim H., Chois S. Cycling and storage performance at elevated temperatures of LiNi<sub>0.5</sub>Mn<sub>1.5</sub>O<sub>4</sub> positive electrodes for advanced 5 V Li-ion batteries. *Electrochemistry Communications*, 2004, vol. 6, pp. 821-826.
  45. Li L.F., Lee H.S., Yang X.Q., Huang X.Y. A pentafluorophenylboron oxalate additive in non-aqueous electrolytes for lithium batteries. *Electrochemistry Communications*, 2009, vol. 11, pp. 2296-2299.
  46. Fu M.H., Huang K.L., Liu S.Q., Li J.S., Li Y.K. Lithium DiFluoro (oxalato) borate/ethylene carbonate + propylene carbonate + ethyl (methyl) carbonate electrolyte for LiMn<sub>2</sub>O<sub>4</sub> cathode. *Journal of Power Sources*, 2010, vol. 195, pp. 862-866.
  47. Li Y., Zhang R., Liu J., Yang C. Effect of heptamethyldisilazane as an additive on the stability performance of LiMn<sub>2</sub>O<sub>4</sub> cathode for lithium-ion battery. *Journal of Power Sources*, 2009, vol. 189, pp. 685-688.
  48. Mizushima K., Jones P.C., Wiceman P.J., Goode-nough J.B. Li<sub>x</sub>CoO<sub>2</sub> (0 < x < -1): a new cathode material for batteries of high energy density. *Material Research Bulletin*, 1980, vol. 15, pp. 783-789.
  49. Chung K., Yoon W.-S., Lee H.-S., McBreen J., Yang X.-Q., Oh S.H., Ryu W.H., Lee J.L., Cho W.I., Cho B.W. In situ XRD studies of the structural changes of ZrO<sub>2</sub>-coated LiCoO<sub>2</sub> during cycling and their effects on capacity retention on lithium batteries. *Journal of Power Sources*, 2006, vol. 163, pp. 185-190.
  50. Li D., Kato Y., Kobayakawa K., Naguchi H., Sato J. Preparation and electrochemical characteristics of LiNi<sub>1/3</sub>Mn<sub>1/3</sub>Co<sub>1/3</sub>O<sub>2</sub> coated with metal oxides coating. *Journal of Power Sources*, 2006, vol. 160, no. 2, pp. 1342-1348.
  51. Waldmann T., Wilka M., Kasper M., Fleischhammer M., Mehren M.W. Temperature dependent ageing mechanisms in lithium-ion batteries – a post-mortem study. *Journal of Power Sources*, 2014, vol. 262, pp. 129-135.
  52. Lazar M.L., Lucht B.L. Carbonate free electrolyte for Li Ion batteries containing  $\gamma$ -butyrolactone and methyl butyrate. *Journal of the Electrochemical Society*, 2015, vol. 162, no. 6, pp. A928-A934.
  53. Smart M.C., Tomcsik M.R., Whitcanack L.D., Ratnakumar B.V., Nagata M., Visco V., The use of methyl propionate-based electrolytes with additives to improve the low temperature performance of LiNiCoAlO<sub>2</sub>-based Li-ion cells. *Abstracts of the*

- 224<sup>th</sup> ECS Meeting. USA, San Francisco, 2013, abstracts no. 1135.
54. Smart M.C., Cho Y.-G., Kim Y.-S., Sung D.G., Seo M.-S., Song H.-K. Nitrile-assistant eutectic electrolytes for cryogenic operation of lithium ion batteries at fast charges and discharges. *Energy Environmental Science*, 2014, vol. 7, pp. 1737-1743.
55. Smart M.C., Ratnakumar K.B., Chin K.B., Whitcanack L.D. Lithium-ion electrolytes containing ester cosolvents for improved low temperature performance. *Journal of the Electrochemical Society*, 2010, vol. 157, no. 12, pp. A1361-A1374.
56. He X.M., Pu W., Han J., Yu Y., Jiang C., Chen J., Wan C. Low temperature electrolytes for Li ion batteries. *Key Engineering Materials*, 2007, vol. 336-338, pp. 530-532.
57. Bing L., Shabab A., *Low temperature electrolyte for high capacity lithium based batteries*. Patent Application US, no. 2013/090417, 2013.
58. Takitaro Y., Ryuichi S., Hyun-Jei C., Cheol-Soo J., Hyeong-Gon N., Eui-Hwan S., Joong-Hun K., *Electrolyte for lithium secondary battery and lithium secondary battery comprising same*. Patent US, no. 7491471, 2009.
59. Krause F.C., Hwang C., Ratnakumar B.V., Smart M.C. The use of methyl butyrate-based electrolytes with additives to enable the operation of Li-ion cells with high voltage cathodes over a wide temperature range. *Abstracts of the 224<sup>th</sup> ECS Meeting*. USA, San Francisco, 2013, abstracts no. 1140.
60. Smith W.N., McCloskey J.R., *Low temperature non-aqueous electrolyte*. Patent US, no. 7675737, 2010.
61. Padhi A.K., Nanjundaswamy K.S., Goodenough J.B. Phospho-olivines as positive electrode materials for rechargeable lithium batteries. *Journal of Solid State Electrochemistry*, 1997, vol. 144, no. 4, pp. 1188-1194.
62. Doeffer M.M., Wilcox J.D., Yu R., Aumentado A., Marcinek M., Kostecki R. Impact of carbon structure and morphology on the electrochemical performance of LiFePO<sub>4</sub>/C composites. *Journal of Solid State Electrochemistry*, 2008, vol. 12, no. 7, pp. 995-1001.
63. Aurbach D., Markovsky B., Salitra G., Markevich E., Talyossef Y., Koltypin M., Nazar L., Ellis B., Kovacheva D. Review on electrode-electrolyte solution interactions, related to cathode materials for Li-ion batteries. *Journal of Power Sources*, 2007, vol. 165, pp. 491-499.
64. Huang Y., Ignatov A., Crufit M. Insight into Fe incorporation in Li<sub>3</sub>V<sub>2</sub>(PO<sub>4</sub>)<sub>3</sub> / C cathode material. *Journal of the Electrochemical Society*, 2012, vol. 159, no. 10, pp. A1573-A1578.
65. Gorlin Y., Siebel A., Piana M., Huthwelker T., Yha H., Monsch G., Kraus F., Gasteiger H.A., Tromp M. Operando characterization of intermediates produced in a lithium-sulfur battery. *Journal of the Electrochemical Society*, 2015, vol. 162, no. 7, pp. A1146-A1155.
66. Yamada Y., Yamada A. Review – Superconcentrated electrolytes for lithium batteries. *Journal of the Electrochemical Society*, 2015, vol. 162, no. 14, pp. A2406-A2423.
67. Golodnitsky D., Strauss E., Peled E., Greenbaum S. Review – On order and disorder in polymer electrolytes. *Journal of the Electrochemical Society*, 2015, vol. 162, no. 14, pp. A2551-A2566.
68. Dokko K., Tachikawa N., Yamauchi K., Tsuchiya M., Yamazaki A., Takashima E., Park Y.-W., Ueno K., Seki S., Serizawa N., Watanabe M. Solvate ionic liquid electrolyte for Li-S batteries. *Journal of the Electrochemical Society*, 2013, vol. 160, no. 8, pp. A1304-A1310.
69. Pang Q., Liang X., Kwok C.Y., Nazar L.F. Review – the importance of chemical interactions between sulfur host material and lithium polysulfides for advanced lithium-sulfur batteries. *Journal of the Electrochemical Society*, 2015, vol. 162, no. 14, pp. A2567-A2576.
70. Jha H., Buchberger I., Cui X., Meini S., Gasteiger H.A. Li-S batteries with Li<sub>2</sub>S cathodes and Si/C anodes. *Journal of the Electrochemical Society*, 2015, vol. 162, no. 9, pp. A1829-A1835.
71. Yamaki J.-I., Shinyo Y., Doi T., Okada S., Ogumi Z. The rate equation of decomposition for electrolytes with LiPF<sub>6</sub> in Li-ion cells at elevated temperatures. *Journal of the Electrochemical Society*, 2015, vol. 162, no. 4, pp. A520-A530.
72. Ma L., Wang D.Y., Downie L.E., Xia J., Nelson K.J., Sinha N.N. Ternary and quaternary electrolyte additive mixtures for Li-ion cells that promote long life time, high discharge rate and better safety. *Journal of the Electrochemical Society*, 2014, vol. 161, no. 9, pp. A1261-A1265.
73. Nie M., Xia J., Dahn J.R. Development of pyridine-boron trifluoride electrolyte additives for lithium-ion batteries. *Journal of the Electrochemical Society*, 2015, vol. 162, no. 7, pp. A1186-A1195.
74. Khasanov M., Shin W.-C., Chernishov D., Tereshchenko A., Egorov V., Shatunov P., *Electrolyte additive and electrolyte and lithium rechargeable battery including same*. Patent US, no. 8940434, 2015.
75. Murmann P., Schmitz R., Nowak S., Gores H., Ignatiev N., Sartori P., Passerini S., Winter M., Schmitz R.W. Electrochemical and thermal investigation and Al current collector dissolution studies of three di-lithium salts in comparison to LiPF<sub>6</sub> containing electrolytes. *Journal of the Electrochemical Society*, 2013, vol. 160, no. 4, pp. A535-A541.
76. Zhao H., Park S.-J., Shi F., Fu Y., Battaglia V., Ross Jr.P.N., Liu G. Propylene carbonate (PC)-based electrolytes with high coulombic efficiency to Li-ion batteries. *Journal of the Electrochemical Society*, 2014, vol. 161, no. 1, pp. A194-A200.
77. Azimi N., Xue Z., Rago N.D., Takoudis C., Gordin M.L., Song J., Wang D., Zhang Z. Fluorinated electrolytes for Li/S battery: Suppressing the self-discharge with an electrolyte containing fluoroether solvent. *Journal of the Electrochemical Society*, 2015, vol. 162, no. 1, pp. A64-A68.
78. Song J.-H., Yeon J.-T., Jang J.-Y., Han J.-G., Lee S.-M., Choi N.-S. Effects of fluoroethylene carbonate on electrochemical performance of lithium electrodes and lithium-sulfur batteries. *Journal of the Electrochemical Society*, 2013, vol. 160, no. 6, pp. A873-A881.
79. Kasnatscheew J., Schmitz R.W., Wagner R., Winter M., Schmitz R. Fluoroethylene carbonate as an additive for γ-butyrolactone based electrolytes. *Journal of the Electrochemical Society*, 2013, vol. 160, no. 9, pp. A1369-A1374.
80. Sinha N.N., Burns J.C., Dahn J.R. Storage studies on Li/graphite cells and the impact of so-called SEI-forming electrolyte additives. *Journal of the Electrochemical Society*, 2013, vol. 160, no. 4, pp. A709-A714.
81. Hagen M., Feisthammel G., Fanz P., Grossmann H.T., Dorfler S., Tubke J., Hoffmann M.J., Borner D., Joos M., Althues H., Kaskel S. Sulfur cathodes with carbon current collector for Li-S cells. *Journal of the Electrochemical Society*, 2013, vol. 160, no. 6, pp. A996-A1002.
82. Rosenman A., Elazari R., Salitra G., Aurbach D., Garsuch A. Li-S cathodes with extended cycle life by sulfur encapsulation in disordered micro-porous carbon powder. *Journal of the Electrochemical Society*, 2014, vol. 161, no. 5, pp. A657-A662.
83. Liu J., Wen Y., Wang Y., van Aken P.A., Maier J., Yu Y. Carbon-encapsulated pyrite as stable and earth-abundant high energy cathode material for rechargeable lithium batteries. *Advanced Materials*, 2014, vol. 26, no. 34, pp. 6025-6030.
84. Zhang C., Wang W., Wang A., Yuan K., Yuan K., Yang Y., Lu Y. Effect of carbon core grafting on the properties of carbon-sulfur composite for lithium/sulfur battery. *Journal of the Electrochemical Society*, 2015, vol. 162, no. 6, pp. A1067-A1071.